

**283843**

T. C.

HACETTEPE ÜNİVERSİTESİ  
SAĞLIK BİLİMLERİ ENSTİTÜSÜ

**SABİT PROTEZLERDE DİREKT BONDİNG YÖNTEMİ İÇİN  
BİR KROM - NİKEL ALAŞIMININ EN ETKİN  
ELEKTROKİMYASAL PÜRÜZLENDİRME TEKNİĞİNİN ARAŞTIRILMASI**

**PROTEZ (DİŞ) PROGRAMI  
DOKTORA TEZİ**

**Dt. NUR E. ATASEVER**

**ANKARA — 1985**

T.C.  
HACETTEPE ÜNİVERSİTESİ  
SAĞLIK BİLİMLERİ ENSTİTÜSÜ

SABİT PROTEZLERDE DİREKT BONDİNG YÖNTEMİ İÇİN  
BİR KROM - NİKEL ALAŞIMININ EN ETKİN  
ELEKTROKİMYASAL PÜRÜZLENDİRME TEKNİĞİNİN ARAŞTIRILMASI

PROTEZ (DİŞ) PROGRAMI  
DOKTORA TEZİ

Dt. NUR E. ATASEVER

REHBER ÖĞRETİM ÜYESİ : Doç.Dr. MÜJGAN ÖKTEMER

ANKARA - 1985

*I Ç İ N D E K İ L E R*

Sayfa No.

G i r i ş	1
G e n e l B i l g i l e r	3
G e r e ç v e Y ö n t e m	18
B u l g u l a r	35
T a r t i ş m a	40
S o n u ç	48
Ö z e t	50
K a y n a k l a r	51

Son yıllarda, diş hekimliğinde koruyuculuk kavramının tekrar önem kazanmasına bağlı olarak, araştırmacılar diş dokusuna elverdiğince az zarar vererek, eksik dişleri yerine koymabilmenin yollarını araştırmışlardır.

Alışilmiş köprülerin yapımında, destek dişlerin preparasyonu sırasında, diş dokusundan oldukça fazla miktarda madde alınması söz konusuudur. Eğer destek dişlerin estetik görünümleri iyi değilse, çürükler nedeni ile büyük dolguları varsa, bu köklü bir tedavi olarak görülmektedir. Ancak sıkılıkla karşılaşıldığı gibi, birçok hasta eksik dişini tamamlamak için bile olsa sağlam dişinin kesilmesine karşı koymaktadır. Alışılmış köprülerin bu olumsuz yönleri, araştırmacılara diş kesimi yapılmaksızın asitle pürüzlendirilen mine yüzeylerinden tutuculuk sağlayan köprü yapma fikrini vermiştir.

Bu yeni tip köprülerin yapımı Rochette<sup>(1)</sup> ile başlamıştır. Akrilik resin gövdelerin veya hastanın doğal dişinin, direkt olarak minesi asitle pürüzlendirilerek mikroskopik tutucu boşluklar elde edildikten sonra, komşu dişlere kompozit resinlerle bağlanması, geçici bir onarım olarak birçok diş hekimi tarafından açıklanmıştır<sup>(2-10)</sup>. Daha sonraları konulan bu dişleri metal ile destekleyerek uzun süreli tutuculuk elde etme fikri doğmuştur, önceleri metal iskelet delikli olarak yapılmış<sup>(11-14)</sup>, daha sonra metal dökümün iç yüzeyini elektrokimyasal olarak pürüzlendirmenin daha iyi sonuç verdiği ortaya atılmıştır<sup>(15)</sup>.

*Alışılımış köprülere kıyasla diş dokusundan oldukça az preparasyon gerektiren bu tip köprülerde, metal ile kompozit resin arasındaki tutuculuğu artırmak üzere, metale uygulanabilecek en etkin pürüzlendirme tekniği de son zamanlarda üzerinde fazlaca durulan bir konu olmuştur<sup>(15-18)</sup>.*

*Bu araştırmayı yapmaktaki amacımız, metal ile kompozit resin arasındaki tutuculuğu artırmak üzere, soy olmayan bir alaşım için en etkin elektrokimyasal pürüzlendirme tekniğini ortaya çıkarmaktır.*

G E N E L      B İ L G İ L E R

*Dişhekimliğinde belki de son çeyrek yüzyılda, minenin asitle pürüzlenmesi kadar, tek başına hiç bir buluş bu derece etkili olmamış ve ilgi görmemiştir.*

*İlk kez Buonocore<sup>(19)</sup> 1955 yılında, minenin asitle pürüzlenmesi ile diş minesi ve resin arasındaki bağlantının önemli derecede artırılabilceğini ortaya çıkarmıştır. Bu buluştan sonra, günümüzde dişhekimliğinde kullanılmakta olan pürüzlendirme tekniklerinin gelişmesini sağlayan yoğun laboratuvar ve klinik çalışmaları başlamıştır<sup>(20-23)</sup>.*

*Asitle pürüzlenmiş mine yüzeyine resinlerin bağlanması klinik ve laboratuvar araştırmalarında başarılı sonuçlar vermiş<sup>(19,24)</sup>, mine yüzeyini asit ile pürüzlendirmek ve oluşan tutucu girintilere kitlenen bir kompozit resin materyal yerleştirmek onarıcı dişhekimliğine yeni boylar kazandırılmıştır<sup>(25-30)</sup>. Bu teknik diş dokusundan fazla derecede madde kaybı olan dişlerin onarımrasında<sup>(31)</sup>, periodontal sağlığı bozulmuş dişlerin splintlenmesinde<sup>(32)</sup>, fissürlerin koruyucu amaçla kapatılmasında<sup>(33,34)</sup>, ortodontik bantların mineye direkt olarak bağlanması<sup>(35)</sup> ve son zamanlarda da eksik dişlerin yerine konulmasında döküm metal iskeleti diş yüzeyine bağlamada kullanılmıştır<sup>(16,17,36,37)</sup>.*

*Buonocore<sup>(19)</sup>, mine yüzeyini % 85 lik fosforik asit ile pürüzlenmiştir. Daha sonra yapılan araştırmalarda en uygun fosforik asit kontrasyonu % 50 olarak saptanmıştır<sup>(22,33,38)</sup>.*

Mine yüzeyinin pürüzlendirilmesi ile oluşan etki şöyle açıklanmaktadır<sup>(19)</sup>:

1. Yüzeydeki çukurcuklar artar alan genişler,
2. Minenin organik yapısı ortaya çıkar, ağ biçimindeki bu yapı ile resinler arasında mekaniksel adezyon oluşur,
3. Interprizmatik alanlarda derinlemesine boşluklar oluşur, resin'in bu boşluklara kolayca penetrasyonu sağlanır,
4. Tamamen reaksiyona girmiş eski materal dış yüzeyinden uzaklaştırılır, bağlanma için gerekli yeni mine yüzeyi ortaya çıkar,
5. Asitin fosfat grupları mine yüzeyine yığılırlar ve bu yüzeyin ıslanabilirliğini artırırlar.

Retief<sup>(22)</sup> % 50 fosforik asit ile 1 dakika süre ile pürüzlendirilen mine yüzeyindeki çukurcukların boyunun 50 mikron'a ulaştığını belirtmiştir. Asit uygulanmamış mine yüzeyi daha düzgün, özelliği olmayan, donuk bir yüzeye sahiptir. % 50 fosforik asidin 1 dakika süreyle yüzeye uygulanması ile karakteristik prizma uçlu yapı oluşur. Prizma uçlarının, orta kısımları, kenara kıyasla daha fazla erir, bu yüzden pürüzlendirilmiş yüzeyin bal peteği görünümü vardır. Ancak pürüzlenme işlemi bir dişten diğerine değişiklik göstermektedir ve aynı dişin farklı bölgelerinde bile değişik pürüzlenme özellikleri gözlenebilmektedir. Prizmaların kenar kısımları bazen orta kısımlara kıyasla daha fazla oranda pürüzlenmiş olabilir. Pürüzlenme işlemi aynı zamanda mine yüzeyinin ıslanabilirliğini de artırır.

Pürüzlendirmeyi takiben, mine organik matriks veya organik ekleni ile kirlenmemelidir, aksi halde yüzeyin etkinliği azalır<sup>(29)</sup>.

Yapılan araştırmalara göre<sup>(34, 35, 39)</sup>, pürüzlendirilmiş mine yüzeyi,

ağız ortamında hiçbir uygulama yapılmadan bırakılırsa, 2-48 gün içinde remineralize olup doğal görünümüne kavuşabilmektedir.

Yukarıda sözü edilen, minenin asitle pürüzlendirilmesi ve kompozit resinlerin geliştirilerek, mine yüzeyine iyi bağlanabilmesi tekniq'inin gelişmesi sonraları, kayıp bir doğal dişin yerine konulması için, komşu dişlerin yüzeyini asitle pürüzlendirmek ve eksik diş yerine, akrilik resin bir dişi yandaki dişlere kompozit resinle yapıştırarak tamamlamak fikrinin ortaya çıkarmıştır<sup>(3)</sup>. Bu metod dişlerin çekiminden sonra iyileşme devresinde, periodontal hastalıklarda, çocuklarda dişlerin sürmesinden önce immediat bir onarım olarak uygulanmış, bazen çekilen doğal dişin kronu kompozit resinle komşu dişlere tutturulmuştur<sup>(2,4,40)</sup>.

Ibsen<sup>(4)</sup> ve Portnoy<sup>(41)</sup> (1973) akrilik resin hazır diş veya hastanın kendi dişinin gövde olarak kullanılmasını ve gövdenin, asitle pürüzlendirilen komşu dişlere kompozitle bağlanması önermiştir.

Stuart<sup>(4)</sup> (1974) çekilen dişin kronunu, kökünden cement-mine birleşim yerinden ayırmış ve doğal dişin kronunu, gövde planlaması prensiple-rine göre şekillendirmiştir. Gövde dişe palatalın yüzeyden, mesialde ve distalde, değişim alanlarında Sınıf III kaviteler hazırlanmıştır. Gövde olarak kullanılan dişin yan yüzeyinde açılan kavitelerin, gövdenin değişim alanları etrafında rotasyon hareketi yapmasına engel olduğu iddia edilmiş-tir. Pulpa odasındaki artıklar dikkatlice temizlenmiş ve burası kompozit resinle doldurulmuştur. Gövde ve ayak dişlerin mineleri asitle pürüzlendi-rilmiş, bağlanma sağlandıktan sonra, gövde üzerine gelen tüm kontakt temaslar ortadan kaldırılmıştır. Bu olgu 5 ay süreyle gözlenmiş ve yerinde kaldığı bildirilmiştir.

Scheer ve Silverstone<sup>(42)</sup> (1975) aynı şekilde doğal diş kronunu

kullanarak, komşu dişlerin mine yüzeyini asitle pürüzlendirdikten sonra doğal diş kompozit resinle bağlamıştır. Bu şekilde işlem gören 14 hasta- yi ele almış ve 24 aylık izleme sonucunda iyi bir tutuculuk elde etmiş- lerdır.

Ibsen<sup>(2)</sup> (1973), Stuart<sup>(4)</sup> (1974), Barkmeier<sup>(9)</sup> (1979) periodontal sorunları nedeni ile çekilen ön dişlerin yerine konulması için hastanın çekilen doğal dişinin kronunu kullanarak, immediat geçici bir sabit bölüm- lü protez uygulanmasını önermiş, bu tip sabit uygulamaların ön dişlerin çekimininden hemen sonra kolaylıkla yapılabileceğini ve hastanın estetik ge- reksinimlerini tam tedavi planı ortaya çıkana kadar karşılayabileceğini belirtmişlerdir.

Stolpa<sup>(6)</sup> (1975), eksik komşu iki ön dişi, iki üniteli gövde kullanarak kompozit resinle komşu dişlere bağlamıştır. Stolpa kırılmanın doğal dişle gövdenin birleştiği yerde olduğunu ve kompozit resin'in hem destek dişlerde, hem de gövdede kalacak şekilde kırıldığını belirtmiştir. Kırılan yüzeyler rehber alınarak onarımı yapılmıştır.

Lambert, Moore ve Elletson<sup>(43)</sup> (1976)'un sabit kompozit köprüler- de yaptıkları in vitro dayanıklılık çalışmalarında, bir üst yan keser göv- denin insizale doğru yer değiştirmesini sağlamak için gerekli kuvvetin  $18.7 \text{ kg/cm}^2$  olması gerektiğini, gingivale doğru yer değiştirmesini sağla- mak içinse  $25.2 \text{ kg/cm}^2$  bir kuvvet uygulamak gerektiğini bulmuşlardır.

Kochavi ve arkadaşları<sup>(7)</sup>, 1977'de yaptıkları in vitro çalışmada, akrilik resin dişlerin gövde olarak kullanılıp yandaki dişlere tutturula- bileceğini ve bu tedavinin büyük azıların önündeki dişler için uygulanabi- leceğini ileri sürmüştür. Araştırmalarında, iki doğal dişin kökleri alçı içine gömülü ve kronları arasına bir küçük ağı gövde yerleşecek şekilde

yer bırakılmıştır. Akrilik resin gövde, doğal dişlerin mines i pürüzlen- dirildikten sonra kompozit resinle yapıştırılmıştır. 24 saat sonra her nu- munenin çekme kuvvetleri ölçülmüş ve gövdenin ayrılması için gerekli kuv- vet 71.5 kg olarak bulunmuştur. Kopma genellikle akrilik resin - kompozit resin birleşim yerinde olmuştur.

Howell ve Manly<sup>(44)</sup> elektronik bir strain gauge ile ağızdaki kuv- vetleri ölçmüştür ve ön dişlere gelen maksimum ısırtma kuvvetinin 10.8-33.9 kg arasında olduğunu bulmuşlardır. Hiçbir ön dişe 40 kg dan fazla ısırtma kuvveti gelmediğini belirtmişlerdir.

Anderson<sup>(45)</sup>, çiğneme sırasında üç değişik yiyecikle oluşan kuvvet- ti ölçümiş ve büyük azılara gelen maksimum kuvvetin 14.8 kg'ı geçmediğini söylemiştir. Maksimum ısırtma kuvvetinin normal çiğneme sırasında oluşan kuvvetten düşük olduğunu belirtmiştir.

Başka bir çalışmaya göre<sup>(46)</sup>, maksimum ısırtma kuvveti kayıtları 60-70 kg arasındadır. Doğal dişlerin ortalama ısıma kuvveti keserler için 9 kg ve ikinci büyük azılar için 17 kg olarak bulunmuştur. Buna dayanarak, ağızdaki gövdelerde gelen kuvvetin genellikle in vitro ömeklerin kırılma kuvvetinden daha az olduğu söylenebilir. Ancak in vivo olarak başarısız- likların sayısının dişlerin minör yatay hareketleri ile artabileceği dü- şünülmelidir.

Jordan ve arkadaşları<sup>(8)</sup>, 1978 de yaptıkları üç sene süreli araş- tırmalarında komşu dişlerde pinler olmadan 86 restorasyonun bir sene süreye- le hizmet görebildiğini belirtmiştir. Komşu dişlerde pinler olunca resto- rasyon gözledikleri 3 sene sonuna kadar ağızda kalmıştır. Bu restora- syonlar komşu dişleri asitle pürüzlendirip, kompozit resinle pürüzlendi- rilmiş mine yüzeyine bağlanan akrilik gövdelerdir.

Çekilmiş doğal dişlerin ve akrilik resin dişlerin, komşu dişlerin minesine kompozit resinlerle bağlanması ile ilgili olarak daha birçok makale<sup>(10,40)</sup> literatürde görülmektedir. Ancak gövde olarak kullanılan akrilik resin dişlerin estetikleri birkaç yıl sonra bozulmuştur. Bir süre sonra kompozit resinin de renk değiştirdiği ve aşındığı ortaya çıkmıştır. Bu olumsuz yönlerine rağmen tutuculuk oldukça iyi bulunmuştur.

Orthodontic braketlerin, pürüzlendirilmiş mineye önceleri akrilik resinle, son zamanlarda kompozit resinle yapıştırılması orthodontide de direkt bağlanma tekniği olarak bilinmektedir<sup>(39,47)</sup>.

Asitle pürüzlendirilmiş mine dokusu yüzeyine, metal dökümlerin resinle bağlanması, 1973'de Rochette<sup>(1)</sup> ile başlamıştır. Geliştiği döküm altın alaşımından yapılmış periodontal splintin, resine iyi tutunabilmesi için döküm üzerinde delikler oluşturmuştur. Buradan yola çıkarak başka araştırmalar da, ilk kez bu tip onarımlarda döküm metal iskelet kullanarak estetiği ve devamlılığı koruyacak bir teknik geliştirmiştir.

Howe ve Denehy<sup>(11)</sup> (1977) bu teknikle yapılan köprülerde dökümün 1-1.5 mm kalınlıkta olmasını ve kenarların incelerek sonlanmasını ve döküm iskeletin mümkün olduğu kadar fazla tutucu delikleri olması gerektiğini belirtmişlerdir. Bu deliklerin ortalama 0.5 mm çapında ve dış yüzeye doğru genişleyen bir şekilde olmasını önermişlerdir. Gövde kısmına por selen pişirilmiş, iskeletin iç yüzeyinin düzensiz bir yapıya sahip olması için kum banyosu yapılmış, dış yüzeyi ise iyi bir şekilde parlatılmıştır. Daha sonra asitle pürüzlendirilmiş mine yüzeyine, kompozit resinle metal iskelet bağlanmıştır, çalışma bir olgu takdimidir.

Aynı köprülerin arka dişlere uygulanması ilk kez Livaditis<sup>(12)</sup> (1980) önermiş ve döküm resin bağlı retinerlerin planlanması, yapımı ve

dişe bağlanması, ve bu gelişmenin onarıcı dişhekimiğindeki avantajlarını belirtmiştir. Arka dişlere uygulanması ile ilgili literatürdeki ilk kaynaktır. Metal döküm, delikli dizaynda yapılmıştır. Ayrıca okluzal tımkalar ilave edilmiştir.

Yukarıda da belirtildiği gibi delikli metal iskelet fikrinin ortaya çıkması ile bu tip sabit bölümlü protezler daha sık uygulanmaya başlanmıştır<sup>(13,50)</sup> ve konuya ilgili tutuculuğu artırma çalışmaları yapılmıştır<sup>(14,48,49)</sup>.

Williams, Drennon ve Silverstone<sup>(14)</sup> (1982) 5 değişik delikli planlama ile yaptıkları metal dökümleri dişe kompozit resinle sağlamışlar ve araştırmalarının sonucunda, en düşük ayrılma kuvvetini 40 kg bulmuşlardır. En yüksek ortalamayı ise 100 kg olarak bulmuşlardır. Araştırmalarının sonucunda bütün planlamaların insanların ön dişlerinin ıslırma kuvvetleri için yeteri kadar tutucu olduğu kanısına varmışlardır. Kopmalar en çok metal-kompozit resin birleşim yerinde olmuştur.

Bu tip retinerler kayıp ön ve arka dişlerin yerine konmasında<sup>(43,51)</sup>, periodontal açıdan zayıf olan dişlerin splintlenmesinde<sup>(1,52)</sup> ve ortodontik tedaviden sonra uzun süreli sabit pekiştirme sağlama<sup>(53)</sup>da kullanılabılır.

Delikli iskelet planlaması son senelere kadar retansiyon için en çok tutunmuş metod idi. Ancak delikli planlamanın bazı olumsuz yönleri vardır, kompozit resin'in açıkta kalması nedeni ile açıkta kalan kısmın aşınması ve deliklerden giren sıvıların, sızıntıya neden olması söz konusu sudur. Tutuculuk için kullanılan kompozit resin, deliklerde karşıt dişlerle karşılaşıp aşınabilir ve bir süre sonra mekanik tutuculuk kaybolur. Bunun da ötesinde tutuculuk yalnızca delikler etrafındaki bölgelerde ge-

çerlidir, bütün iskelette geçerli değildir. Bu durum çığneme kuvvetlerinin az saydaki dar resin çıkışılarda yoğunlaşmasına neden olur.

Delikleri ve açıkta kalan resini elimine eden bir tutucu mekanizma, onarımın ömrünü uzatacak ve sürekliliğini artıracaktır. Bu anlamda ilk çalışmayı A.B.D.'de Maryland Üniversitesi'nde Livaditis ve Thompson<sup>(15)</sup> (1982) yapmış, metal dökümün iç yüzeyini elektrokımyasal olarak pürüzlenerek bunu yine asitle pürüzlendirilmiş mineye kompozit resinle bağlamışlardır. Çalışmalarında Biobond marka krom-nikel alaşımının elektrokımyasal olarak pürüzlenirme tekniğini ve pürüzlendirilmiş metal yapının kompozit yapıştırıcı ile bağlanma kuvvetini araştırmışlardır. İlk kez uygalandığı kliniğin adına bağlı olarak bu tip köprülere değişik isimlerinin yanısıra "Maryland köprü" de denilmektedir.

Metalin asitle pürüzlendirilmesi kimyasal ve elektrokımyasal olmak üzere iki yöntemle yapılabilmektedir. Metalurjide asitle pürüzlendirme işlemi, alaşımların kristal yapısını mikroskop altında inceleyebilmek amacıyla da kullanılmaktadır<sup>(54)</sup>.

Bazı araştırmacılar, yukarıda kısaca açıklanan bu ilkenin yalnız çözünürlük özelliğinden yararlanarak sabit metalik restorasyonların iç yüzeyinden ince bir tabaka kaldırmayı düşünmeler, böylece siman için gereklili boşluğun oluşacağını ve restorasyona eksiksiz bir uyum sağlayacağıni savunmuşlardır<sup>(55,56)</sup>.

Simantasyondan önce kronun iç yüzeyinin pürüzlendirilmesi ilk kez 1928 yılında Hollenback<sup>(57)</sup> tarafından önerilmiştir. Kronların oturtulmasında ve kenar uyumunda iç yüzey röliefinin önemli bir yardım olduğuna inanmıştır. Döküm altın restorasyonların iç yüzeyine yapılan röliefin simanın hem yapıtırma sırasındaki direncini azalttığını ve hem de kenarlar-

daki siman kalınlığını azaltarak böylece daha ideal bir oturma ve kenar örtümüne izin verdiğiini belirtmiştir.

Fusayama, Ide ve Hosodo<sup>(58)</sup> (1964) iç yüzeyinde rölief yapılmadan yapıştırılan altın döküm restorasyonlarda okluzal duvarda siman kalınlığının 90 mikron ve rölief yapılanda ise siman kalınlığının 46 mikron, yanı ortalama değerinin yarısı kadar olduğunu bulmuşlardır.

Fame ve Nealey<sup>(59)</sup> (1976) yine altın dökümlerde kral suyu ile veya elektrokimyasal pürüzlendirme işlemi sırasında tam kronlarda iyi bir kenar uyumu sağlamak için marginlerin korunması gerektiğini söylemişlerdir. Bu kısımları mum veya tırmak cilası ile kapatmışlardır. Deney sonuçlarına göre, kimyasal veya elektrokimyasal yöntemlerle yapılan pürüzlendirme işlemi, sabit metalik restorasyonların iç yüzeyinde rölief yapabilmektedir. Dolayısıyla simantasyon sırasında oluşan hidrolik basınc azaltıkta, restorasyon kenarları mum veya oje ile kaplanarak korunmuş ise bu bölgelerde çok ince bir siman kalınlığı elde edilebilmektedir.

Metallerin pürüzlendirilmesinin diğer bir nedeni de mekanik tutuculuğu artırmaktır.

Dunn ve Reisbick<sup>(60)</sup> (1976) implantlarda kullanılacak Vitallium krom-kobalt alaşımının üst yüzeyini ince bir tabaka seramikle kaplamayı düşünmüştür, bu amaçla metali elektrokimyasal yöntemle pürüzlendirmiştir.

Tanaka<sup>(61)</sup> (1979), soy olmayan veneer kronların faset gelecek yüzlerini elektrokimyasal yöntemle % 5 sodyumklorür solusyonunda pürüzlenderek sıcakta polimerize olan akrili bu yüzeye tutturmuştur. Oluşan retentif çukurcukların hem tutuculuğunun, hem de marginal uyumunun küresel toz ve boncuklara kıyasla üstün olduğunu bulmuştur.

Daha önce de belirtildiği gibi soy olmayan metallerin elektrolitik olarak pürüzlendirilmesine dayanarak, Ni-Cr döküm alaşımının dental resinlerin mikromekanik bağlanması için uygun bir yüzey oluşturabileceği fikri ortaya çıkmıştır. Livaditis ve Thompson<sup>(15)</sup> (1982) soy olmayan bir alaşımın elektrolitik olarak pürüzlendirilmesini ve bu tekniğin klinik uygulamalarını açıklamıştır.

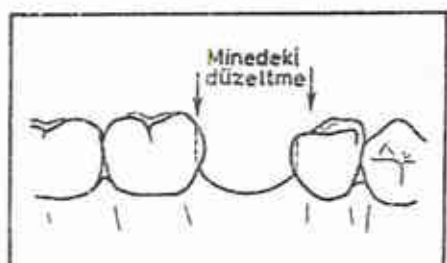
Thompson, Castillo ve Livaditis<sup>(18)</sup> (1983) berilyum içeren ve içermeyen Cr-Ni alaşımının elektrokimyasal pürüzlenme özelliklerini üzerinde çalışmışlardır. Pürüzlendirilmiş metallerin resinle bağlantısının, asitle pürüzlendirilmiş mine ile resin arasındaki bağlantıya kıyasla iki katı daha kuvvetli olduğunu bulmuşlardır.

Son senelerde Maryland köprüler birçok araştırmacı tarafından önerilen ve uygulanan bir teknik olmuştur<sup>(16,17,37,61)</sup>.

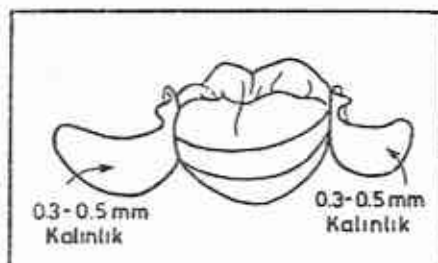
Bu tip köprülerin protetik tedavide kullanılması başlangıçta olduğu gibi günümüzde de özellikle tutuculuk ve devamlılık yönünden hekimlerin çoğunda şüpheli bir uygulama kanısını uyandırmaktadır.

Ancak yapılan klinik çalışmalarla<sup>(62,63)</sup> ve in vitro deneylerle yapılan ortak kanı, bu köprülerin başarısı veya başarısızlığında, vakının dikkatlice gözden geçirilmesinin önemi büyütür.

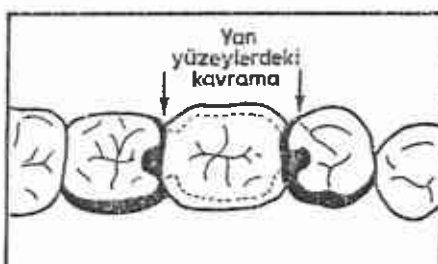
Dişteki düzeltme, mine sınırları içinde rehber düzlem oluşturur şekilde az miktardadır. Arka destek dişlerde minede bir okluzal tımkı yuvası açılmalıdır. Dişetine zarar vermek sözkonusu değildir, çünkü serbest dişeti kenarında 1-1.5 mm uzakta bitirilir. Doğal diş yapısı korunduğu için işlem tamamen geri dönülebilirdir. Eğer köprü herhangi bir nedenle çıkarılırsa, dişler temelde herhangi bir değişikliğe uğramamışlardır, bu daha sonraki tedaviler için oldukça elverişli bir durumdur (Şekil 1).



(a)



(b)



(c)

*Şekil 1 : a) Mine sınırları içinde yapılması gereken düzeltme,  
b) Köprüün bitmiş şekli (Lingualden görünümü),  
c) Okluzalden görünümü.*

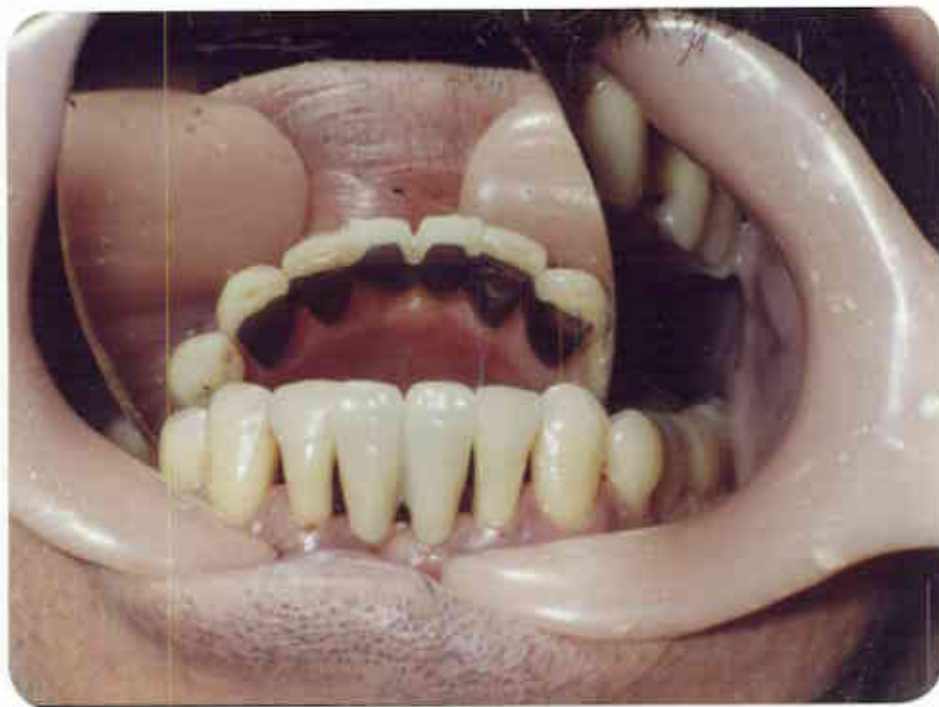
*Eksik dişleri yerine koymaının yanısıra, periodontal olarak zayıf dişler varsa bunları splintleme işlevi de görür. Resim 1 ve 2'de bu amaçla uyguladığımız bir Maryland köprü görülmektedir.*

*Daha önce de belirtildiği gibi, bu tip köprülerde mine ile temasta olan metal döküm iskelet yüzeyi elektrokimyasal olarak pürüzlendirilir.*

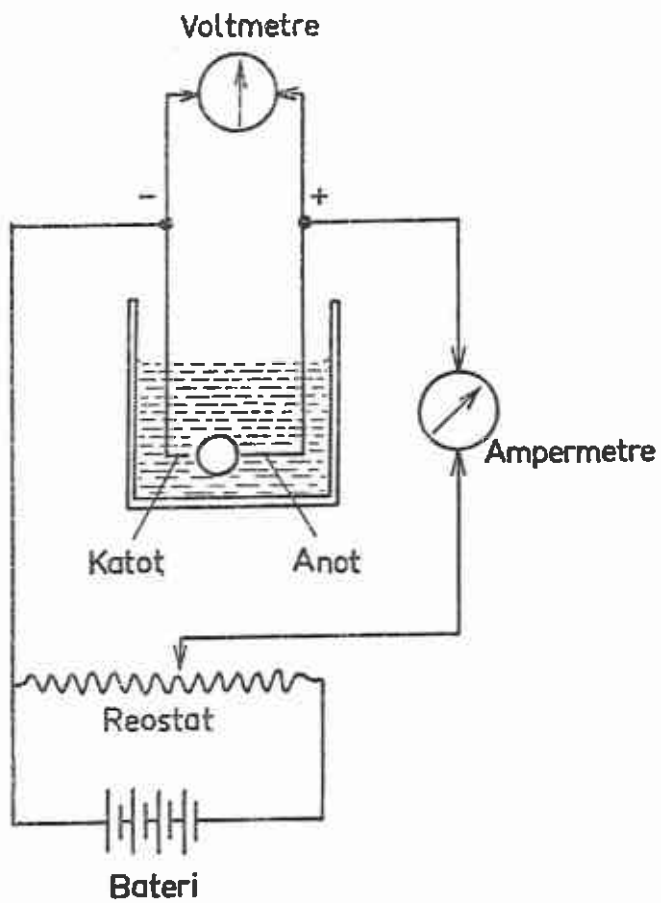
*Metallerin elektrokimyasal olarak pürüzlendirilebilmesi için bir düşük voltajlı direkt akım kaynağı gereklidir. Bu alet düşük voltajda akım sağlamak için bir elektrik çıkışına bağlanır. Akım kaynağı Şekil 2'de görüldüğü gibi iki elektrot, voltaj ve amper göstergelerinden oluşur. Kullanılacak voltaj  $2.5-3$  V arasındadır<sup>(64)</sup>, akım yoğunluğu veya miliampere (mA) kullanılan metale göre seçilir. Alet çalışırken akım yoğunluğundaki sapmaların 5-10 mA'den fazla olmaması aletin oldukça hassas olması gereklidir.*



*Resim 1 : Dişeti hastalığı nedeni ile alt orta kesici eksikliği.*



*Resim 2 : Uygulanan restorasyon hem periodontal splint görevi yapmış hem de eksik dişleri yerine koymuştur.*



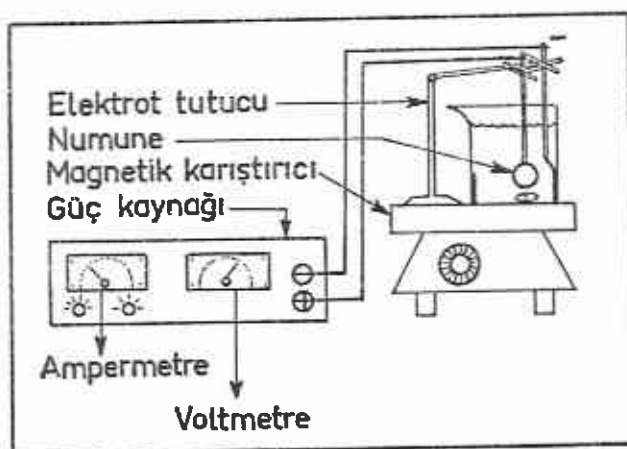
Şekil 2 : Bir direkt akım kaynağının şematik görünümü.

Pürüzlendirilecek metal (+) yüklü elektroda, yani anoda bağlanır.

Her iki elektrot da alaşına özgü asit çözeltisi (elektrolitik solüsyon) içine batırılır. Anot ve katot karşılıklı yerleştirilir.

Suda çözündükleri zaman iyonlar verebilen ve çözeltileri elektrik akımını iletten maddeler elektrolit olarak adlandırılırlar.

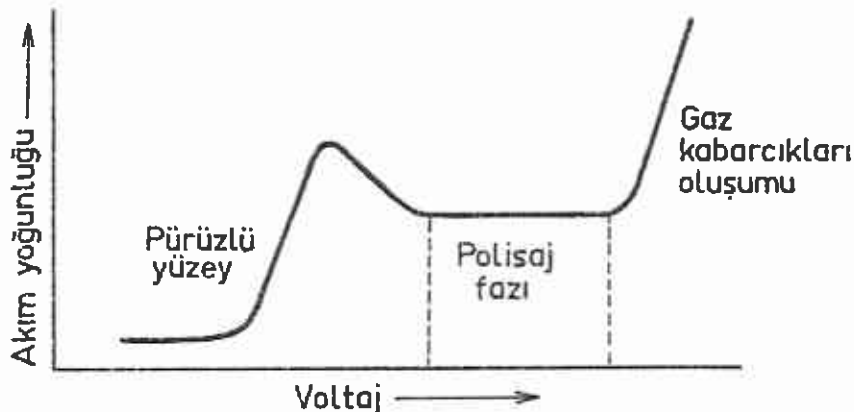
Düşük voltajlı bir doğru akım kaynağı, bir magnetik karıştırıcı ve uygun bir asit çözeltisi ile dolu bir beher içeren pürüzlen dirmə aygıt. Şekil 3'de görülmektedir.



Şekil 3 : Elektrokimyasal pürüzleme ağıtı.

Bu sistemde, eğer akım yoğunluğu giderek artırılırsa bir yerde mak-simum bir değere ulaşır, bundan sonra artan potansiyele rağmen sabit bir değere düşer ve sonuçta yine keskin bir şekilde yükselir. Eğrinin düz kis-mı düzgün parlak yüzeyin oluşumuna tekabül eder.

Aşağıda açıklama amacıyla bakır'a özgü olan akım-voltaj eğrisi veril-miştir (Şekil 4).



Şekil 4 : Bakır'a ait akım voltaj eğrisi.

Metal veya alaşım bir elektrolitik pil içinde anot olarak kullanı-lıp elektrolize edildiğinde yüzeyi düzgün ve parlak bir görünüm kazanır. Bu davranış tamamen özel durumlarda gerçekleşir. Elektrolitik parlatma

asında anodik davranış durumudur. Yani ayrı pil devresine uygulanan farklı koşullarda aynı metal aşındırılabilir, parlatılabilir, kısmen pasifleştirilir veya tamamen pasifleştirilir. Yani bir metal aynı elektroliz çözeltisi içinde farklı akım yoğunluklarında hem pürüzlendirilip, hem de parlatılabilir. Her alaşım için kendine özgü bir akım-voltaj eğrisi ve elektrolitik çözelti vardır<sup>(65)</sup>.

Saf nikel ve yüksek oranda nikel içeren alaşımaların elektrolitik olarak pürüzlendirilmesinde, nitrik asit ve asetik asidin bir karışımı kullanılabılır. Çözelti aşağıdakileri içermektedir<sup>(66)</sup> :

Nitrik asit .....	10 cc
Asetik asit .....	5 cc
Saf su .....	100 cc

Nikel krom alaşımalarının suda % 10 sülfürik asit<sup>(15,66)</sup> ve 0.5 N Nitrik asit<sup>(15,18)</sup> içeren çözelti içinde de elektrolitik olarak pürüzlendirileceği belirtilmiştir. Değişik konsantrasyonlardaki kromik asit çözeltileri<sup>(66)</sup> ve % 5 sodyum klorür çözeltisi<sup>(61)</sup> de nikel içeren alaşımaların pürüzlendirilmesinde önerilmiştir.

Araştırmamızın amacı Maryland köprülerin yapımında kullanılacak soy olmayan bir krom-nikel dental alaşımı için uygun elektrokimyasal çözelti ve pürüzlendirme yöntemini bularak, metal ve kompozit resin arasındaki bağlantının gücünü artırmaya yardımcı olmaktadır.

G E R E Ç v e Y Ö N T E M

Araştırmamızda kullanılacak numuneler, Niranium marka krom-nikel alaşımından  $1 \text{ cm}^2$  yüzey alanına sahip diskler şeklinde, bir yüzeyi düz, diğer yüzeyinde tutucu bir çıkıştı olacak şekilde dökülmüştür. Üç değişik asit çözeltisi kullanılarak metal yüzeyleri elektrokimyasal olarak değişik akım yoğunluğu ve sürede pürüzlendirilmiştir.

Yüzeyleri aynı şartlarda pürüzlendirilen ve ultrasonik olarak temizlenen numuneler, daha sonra yüz yüze kompozit resinle birbirine yapıştırılarak, değişik pürüzlendirme şartlarının etkinliğini saptamak üzere bir Instron test makinası ile çekme kuvvetleri belirlenmiş, sonuçlar istatistiksel olarak değerlendirilmiştir.

Yukarıda sözü edilen metal için Maryland köprülerde kullanılabilen çok uygun elektrokimyasal pürüzlendirme tekniği ortaya konulmuştur. Araştırmamızda ayrıca, en iyi sonucu veren pürüzlendirme tekniği ile elde edilen metal yüzeyindeki çukurcukların derinliği ölçülmüştür.

ÖN ÇALIŞMA :

Araştırmamızda kullanılan alaşımın hangi akım limitleri arasında elektrokimyasal olarak pürüzlendirilebileceğiini saptamak üzere bir ön çalışma yapıldı ve böylece bir akım-voltaj eğrisi çıkartıldı.

AKIM-VOLTAJ EĞRİSİİNİN ÇIKARTILMASI :

Araştırmamızda yüksek oranda nikel içeren alaşımaları elektrokimyasal olarak pürüzlendirdiği bilinen değişik çözeltiler denenmiş, bunlardan % 5 sodyum klorür, 5 N nitrik asit, % 10 kromik asit + % 32 hidroklorik asitin, kullandığımız alaşım için elverişli olmadığı yapılan ön çalışmadaki mikroskopik incelemelerle belirlenmiştir. Araştırma kapsamına alınan elektrolitik çözeltiler aşağıda belirtilmiştir.

1- % 10  $H_2SO_4$ <sup>†</sup>

105 mlt  $H_2SO_4$

895 mlt saf su ile karıştırılarak elde edildi.

2- 0.5 N  $HNO_3$ <sup>‡</sup>

34.6 mlt  $HNO_3$

965.4 mlt saf su ile karıştırılarak elde edildi.

3-  $HNO_3$  80 cc

$CH_3COOH$ <sup>x</sup> 40 cc

Saf su 800 cc karıştırılarak elde edildi.

Bu çözeltiyi karıştırırken dikkatli olunmalıdır,asetik asit sulandırılmış nitrik aside yavaş yavaş ve devamlı karıştırarak ilave edilmelidir.

Pürüzlendirme tekniği araştırılan metalden<sup>\*\*</sup>, 1  $cm^2$  yüzey alanına sahip 2 mm kalınlıkta kare şeklinde metal parçalar dökülerek elde edildi. Bu metaller yukarıda belirtilen üç değişik elektroliz çözeltisine özgü akım-voltaj eğrisinin çıkartılmasında kullanıldı.

† : Art. 713 95-98 %  $H_2SO_4$  MERCK

‡ : Art. 443 65 %  $HNO_3$  MERCK

x : Art. 56 99-100 %  $CH_3COOH$  MERCK

\*\* : Niranium Cr-Ni Alloy

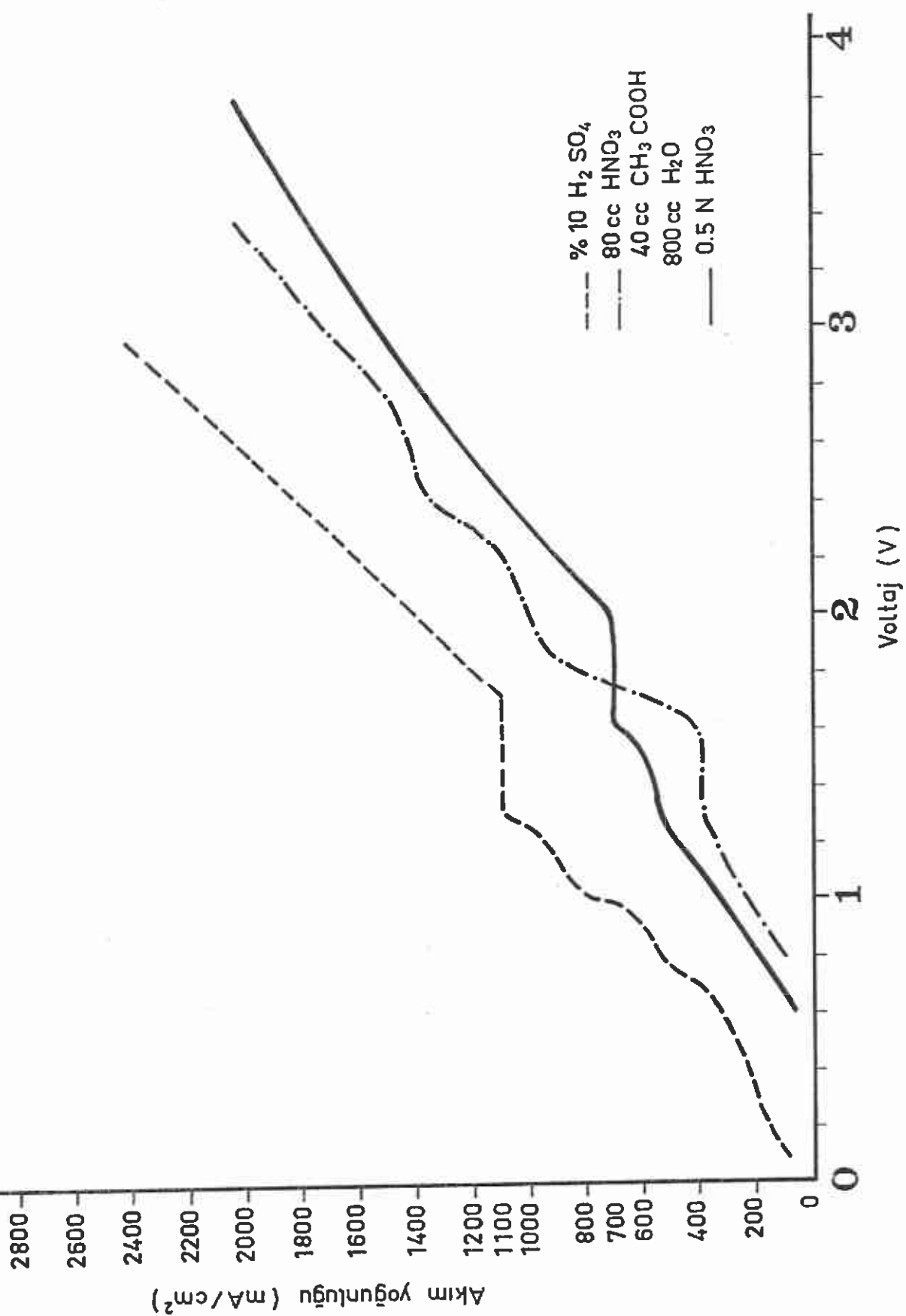
Niranium Corporation 34-37 Eleventh Street, Long Island City, New York 11106 USA.

Akım-voltaj eğrisinin çıkartılmasında bütün metaller için genel prensip aynıdır. Metal numune elektrolitik çözelti içinde anoda bağlanır. Artan bir emf (elektromotive kuvvet) uygulanınca akım maksimuma çıkar, daha sonra artan potansiyele rağmen akım sabit bir değere düşer, ve sonuçta yine keskin bir şekilde yükselir. Eğrinin düz kısmı düzgün parlak yüzeyin (elektropolishing) oluştuğu kısmı, ondan önceki kısmı ise pürüzlenmenin (elektroetching'in) olduğu kısımdır.

Araştırmamızda kullanılan üç değişik asit çözeltisi için bu şekilde akım voltaj eğrileri çıkartılmıştır. Bu amaçla, elektrolitik çözelti içinde anoda bağlanan numuneye bir direkt akım veren güç kaynağı ile değişik akım yoğunlukları uygulandığında sistemeği voltaj değerleri kaydedilmiştir. Bu değerler Tablo I de görülmektedir, bu tabloya göre elde edilen eğriler Çizelge I de verilmiştir.

Tablo I : Arastirmamizda kullanilan 3 degerik asit solusyonunun akim voltaj degerleri.

% 10 $H_2SO_4$ -1.5 V		0.5 N $HNO_3$ -0.9 V		$HNO_3-CH_3COOH$ karisimi -0.7 V	
I (mA)	V (v)	I (mA)	V (v)	I (mA)	V (v)
100	1.6 (0.1)	50	1.5 (0.6)	100	1.5 (0.6)
200	2.0 (0.5)	100	1.6 (0.7)	200	1.6 (0.9)
400	2.25 (0.75)	200	1.7 (0.8)	300	1.8 (1.1)
500	2.25 (0.75)	300	1.9 (1.0)	400	2.0 (1.3)
600	2.4 (0.9)	400	2.0 (1.1)	400	2.1 (1.4)
700	2.5 (1.0)	500	2.1 (1.2)	400	2.2 (1.5)
800	2.5 (1.0)	600	2.4 (1.5)	400	2.3 (1.6)
900	2.6 (1.1)	700	2.5 (1.6)	500	2.4 (1.7)
1000	2.75 (1.25)	700	2.6 (1.7)	600	2.4 (1.7)
1100	2.8 (1.3)	700	2.7 (1.8)	800	2.5 (1.8)
1100	2.9 (1.4)	700	2.8 (1.9)	900	2.5 (1.8)
1100	3.0 (1.5)	700	2.9 (2.0)	1000	2.6 (1.9)
1100	3.1 (1.6)	800	3.0 (2.1)	1100	3.0 (2.3)
1100	3.2 (1.7)	900	3.1 (2.2)	1200	3.0 (2.3)
1200	3.3 (1.8)	1000	3.2 (2.3)	1300	3.0 (2.3)
1300	3.4 (1.9)	1100	3.3 (2.4)	1400	3.25 (2.55)
1400	3.5 (2.0)	1200	3.4 (2.5)	1500	3.5 (2.8)
1500	3.6 (2.1)	1300	3.5 (2.6)	1700	3.6 (2.9)
1600	3.75 (2.25)	1700	4.2 (3.3)	2000	4.0 (3.3)
1800	4.0 (2.5)	2000	4.5 (3.6)		
2000	4.0 (2.5)				
2500	4.5 (3.0)				



Çizelge 1 : Araştırmamızda kullanılan üç asit çözeltisinin akım-voltaj eğrileri.

Her üç çözeltinin de pürüzlenmiş yüzey oluşturan akım limiti, eğrilerde voltajın yükseliş buna karşılık akım yoğunluğunun aynı değerde kaldığı düz kısma kadardır. Çizelge I deki grafikten anlaşılabileceği gibi % 10  $H_2SO_4$  için pürüzlenme fazı 0-1100 mA, 0.5 N  $HNO_3$  için 0-700 mA,  $HNO_3$  -  $CH_3COOH$  karışımı için 0-400 mA dir. Bu değerlere yaklaştıkça pürüzlenmiş yüzeyin azlığı ve akım daha fazla artırılınca polisaj fazına geçildiği görülmüştür.

Yapılan çalışmada % 10  $H_2SO_4$  çözeltisi kullanıldığında elektrokimyasal pürüzlenmenin 200 mA de başladığı ve 800 mA - 1100 mA arasında pürüzlenmenin oldukça az olduğu, buna karşılık polisaja doğru bu geçiş olduğu gözlenmiştir. 0.5 N  $HNO_3$  çözeltisi kullanıldığında elektrokimyasal pürüzlenme olayı yine 200 mA de başlamıştır, 700 mA'e kadar devam etmiştir.  $HNO_3$  -  $CH_3COOH$  karışımından oluşan çözeltide elektrokimyasal pürüzlenmenin 100 mA de başıldığı, 400 mA'e kadar devam ettiği gözlenmiştir.

Bu akım limitlerinden yola çıkarak araştırmamızda, numunelere bu değerler arasında akım yoğunluğu uygulanarak pürüzlenme etkinlikleri elde edilmeye karar verilmiştir.

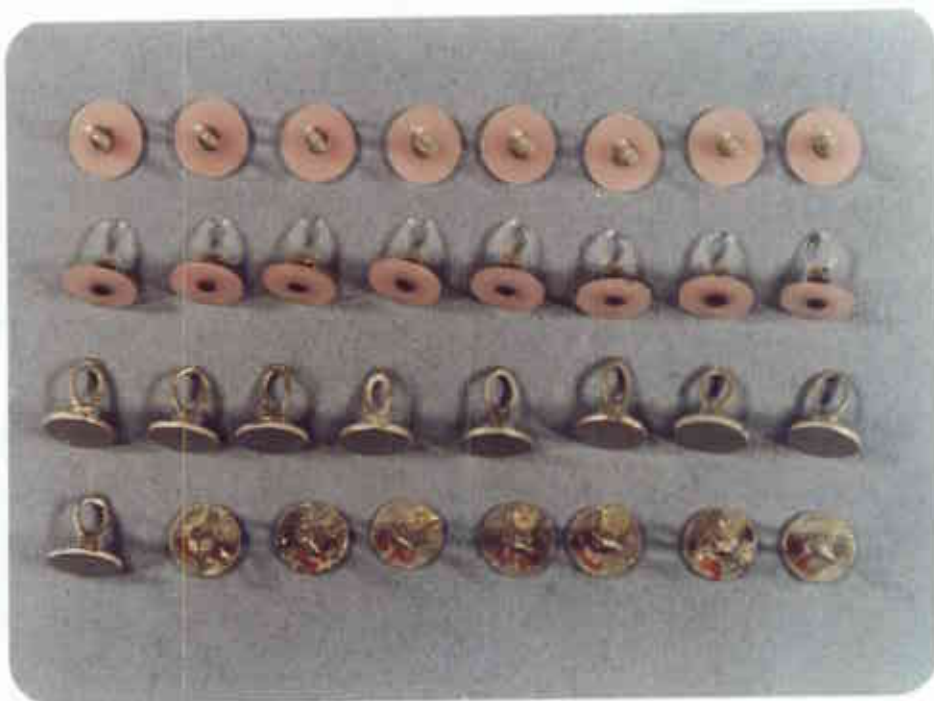
#### ESAS ÇALIŞMA

##### a- ARAŞTIRMAMIZDA KULLANILACAK METAL NUMUNELERİN HAZIRLANMASI :

Araştırmamız için, 1  $cm^2$  yüzey alanına sahip, 1 mm kalınlığında disk şeklindeki 70 adet metal numune Niranim marka krom-nikel alaşımından elde edildi. Bu numunelerin pürüzlendirilecek yüzeyi düz, karşı yüzeyinde ise çekme deneylerinde kullanılmak üzere tutucu bir çıkıştı bulunmaktadır. Bu tutucu halkaların, metali tam ortasından ve dik olarak çıkışını sağlamak için, bu halkalar 4 mm yüksekliğinde 3 mm çapında silindirik mumların<sup>\*</sup> üzerine yerleştirildi.

\* : Round Sprue Wax Cat. 190 Howmedica International Inc. Köln.

Tutucu halkalar ise yuvarlak bir silindire sarılan 1 mm çapında misina telinden standart boyutlarda elde edildi. Metal numunelerin aynı boyutlarda olması için, dökülecek mum figürler 1 cm<sup>2</sup> lik bigopsi makası ile kesildi. Numuneler bir tabaka kalınlığında pembe mumdan<sup>\*</sup> eşit olarak üretildi (Resim 3).



Resim 3 : Metal numunelerin mumdan hazırlanmış ve dökülmüş görünümleri.

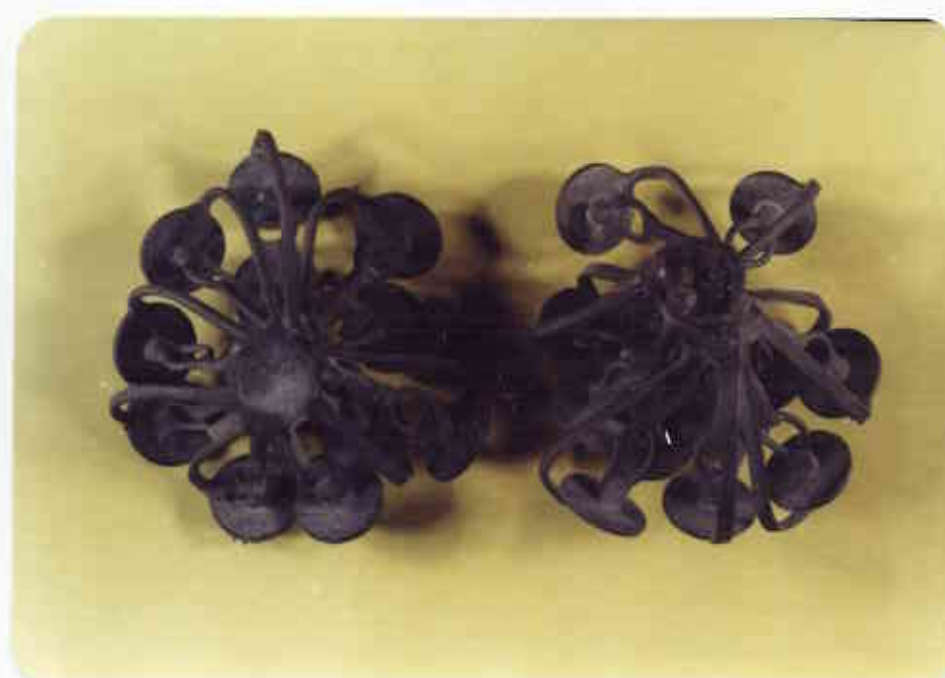
Daha sonra bu mum figürlerin 10-15 lik gruplar halinde Niranium marka krom-nikel alaşımı kullanılarak dökümleri yapıldı (Resim 4-5).

---

\* : Modelling Wax Pinnacle Standard Wax De Trey, England.



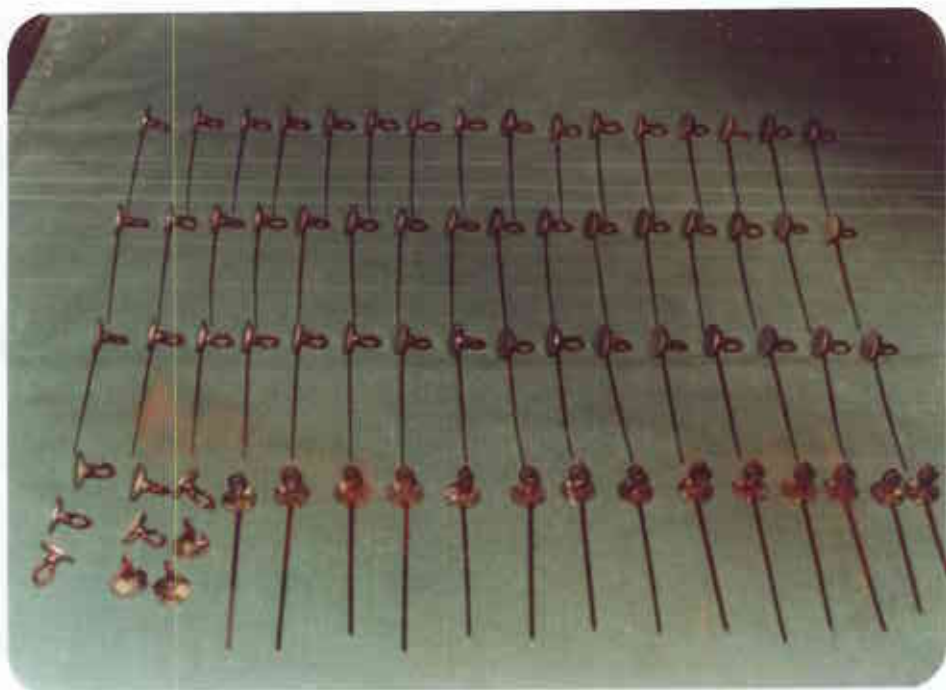
Resim 4 : Dökümden çıkmış numuneler.



Resim 5 : Dökümden çıkmış numuneler yukarıdan görünümü.

Dökümden çıkan nummelerin ısı oluşturmadan tıjleri kesilip düzeltildikten sonra, pürüzlendirme işlemi sonucunda oluşan yüzeyin incelemesini kolaylaştırmak için, düz yüzeyleri en son ince grenli su zımparası<sup>x</sup> ile parlatıldı.

Numuneler 1 den 70'e kadar numaralandırıldı, paslanmaz çelik 10 cm uzunluğunda 0.6 cm yarımlı yuvarlak kroşe<sup>xx</sup> anot olarak kullanılmak üzere, yapıştırıcı mumla metal numunenin parlatılmamış yüzeyine iyice temas edecek şekilde Resim 6 da görüldüğü gibi yapıştırıldı.



Resim 6 : Elektrodun anoda bağlantı yapan uç kısmı dışında her tarası ve disklerin de ön yüzü dışında her tarası tımkacılık cılısı ile kapatalımıştır.

<sup>x</sup> : English Abrasives P 400 A Made in England.

<sup>xx</sup> : Remanium, 0.6 Halb Rund. Dentaurum D-7530 Pforzheim W.Germany.

Metal numunenin pürüzlendirilmeyecek yüzeyi ve anoda bağlanacak paslanmaz çelik kroşe telinin elektrolitik çözelti içine girecek kısımları tımkı cilası ile izole edildi.

b- PÜRÜZLENDİRME İŞLEMİ :

Bu çalışma için Hacettepe Üniversitesi Teknoloji Merkezinde taramızdan özel olarak daha önce belirtilen özelliklere sahip bir elektrokimyasal pürüzlendirme cihazı yaptırılmıştır (Resim 7). Bu alet düşük voltajlı (30 V) bir güç kaynağıdır. Anot ve katot olmak üzere iki elektroda, voltaj ve amper göstergeleri ve birince bir de kaba akım ayar düğmeleri bulunmaktadır.



Resim 7 : Pürüzlendirme aygıtı.

- a) Düşük voltaj direkt akım güç kaynağı,
- b) Magnetik karıştırıcı, ve üzerinde uygun bir asit çözeltisi içeren beker,
- c) Dışarıya çıkarılmış durumda, katot olarak kullanılacak paslanmaz çelik levha.

*Elektrolitik çözelti cam bir beher içine yerleştirilmiştir. Beherin iç yüzeyi paslanmaz çelik bir levha ile çevrilidir. Aletten çıkan - uca (katoda) bu paslanmaz çelik levha, + uca (anoda) ise, ucunda kroşe teli bulunan pürüzlendirilecek numune bağlandı. Pürüzlendirme sırasında metalin üstünde oluşacak hidrojen gaz kabarcıklarını dağıtmak için, tüm sistem bir magnetik karıştırıcı üzerine yerleştirildi (Resim 7).*

*Numunelerin pürüzlendirilecek yüzeyleri, pürüzlendirme işleminden hemen önce % 95 etil alkol ile temizlendi.*

*Anot ve katot 1-1.5 cm uzaklıkta yerleştirilerek, istenilen akım, akım ayar düğmesi döndürüülerek sağlandı (Resim 8).*



*Resim 8 : Numuneler 0.6 cm yarınlı yuvarlak paslanmaz çelik kroşe teline yapışkan mumla tutturulmuş ve düz yüzeyleri paslanmaz çelik katoda bakacak şekilde, anot ve katot ortalamaya 1-1.5 cm uzaklıkta yerleştirilerek sistem çalıştırılmıştır.*

% 10  $H_2SO_4$ , 0.5 N  $HNO_3$ ,  $CH_3COOH$  -  $HNO_3$  karışımından oluşan üç değişik asit çözeltisi içinde metal numuneler ayrı ayrı, 100 mA'den başlanarak ve her defasında akım yoğunluğu 100 mA yükseltileerek pürüzlendirildi. Pürüzlendirilen numuneler x10 - x100 büyütümler arasında ışık mikroskopu ile incelendi. Deneyimizde ayrıca yüzey pürüzlenmesi için gerekli minimum sürede saptanmıştır. Bu süre ışık mikroskopu ile yapılan inclemeler sonucu 5 dakika olarak belirlenmiştir ve numunelere 5 dakika süre ile akım verilmiştir.

Pürüzlendirmenin yeterli görüldüğü her akım yoğunlığında 20 tane numune pürüzlendirilmiştir. 100 mA arayla üç ayrı çözelti için, 14 akım yoğunluğu etkili bulunmuş ve hazırlanan 70 numunenin her biri yeniden zımparalanarak 4 kez kullanılarak toplam 280 numunenin yüzeyi pürüzlendirilmiştir.

#### C- PÜRÜZLENDİRİLEN METAL YÜZEYLERİNİN ULTRASONİK KARIŞTIRICIDA TEMİZLENMESİ :

Pürüzlendirilen numunelere daha önce yapıştırıcı mum ile sabitleştilen kroşe teli çıkarılarak, clay üzerine pürüzlendirilmiş yüzeyleri yukarı bakacak şekilde yerleştirildi. Bu numuneler daha sonra % 18 HCl çözeltisi içeren cam bir beher içine yerleştirildi ve her bir numune 10 dakika süre ile ultrasonik temizleyicide<sup>\*</sup> korozyon ürünlerinden<sup>(61)</sup> ve pürüzlenme sırasında oluşan metal zardan arındırıldı<sup>(15)</sup>.

---

\* : Braunsonic 1510 B.Braun Melsungen AG.



Resim 9 : Ultrasonic karıştırıcı (temizleyici).



Resim 10 : Metal numunelerin pürüz-  
lendirmeden sonraki görünümleri.



RESİM 11 : Resim 10'daki numunelerin  
ultrasonik karıştırıcıda temiz-  
lenmiş hali.

Pürüzlendirilmiş metal yüzeyi oldukça hassastır bu yüzden, yüzeye dokunmamak gereklidir, aksi halde yüzeydeki çıkışılarda kırılma olur.

d- KOMPOZİT RESİNLE YAPIŞTIRMA İŞLEMİ :

Aynı asit solusyonu ile ve eşit değerdeki akımda aynı süre pürüzlendirilen bir çift numune kompozit resinle<sup>x</sup> birbirine yapıştırıldı.

Ultrasonik karıştırıcıdağı temizleme işleminden sonra yıkanan ve kurutulan metalin pürüzlendirilmiş yüzeyine doymamış resin "bonding" ajanı fırça ile sürüldü. Yüzeyin ıslanabilirliğinin artması nedeni ile pürüzlenmiş yüzeyde hemen yayılma olmaktadır. Kompozit resin<sup>x</sup> üreticinin önerdiği şekilde karıştırıldı ve numunelerin ortasına bir miktar konularak iki metal karşılıklı getirildi ve sabit bir şekilde tutularak 5 daka süre ile yapışması beklandı. Metalin kenarları daha önceki işlemler sırasında tırmak cillası ile kapatıldığı için taşan kısımlar sertleştirikten sonra kolayca temizlenebildi.

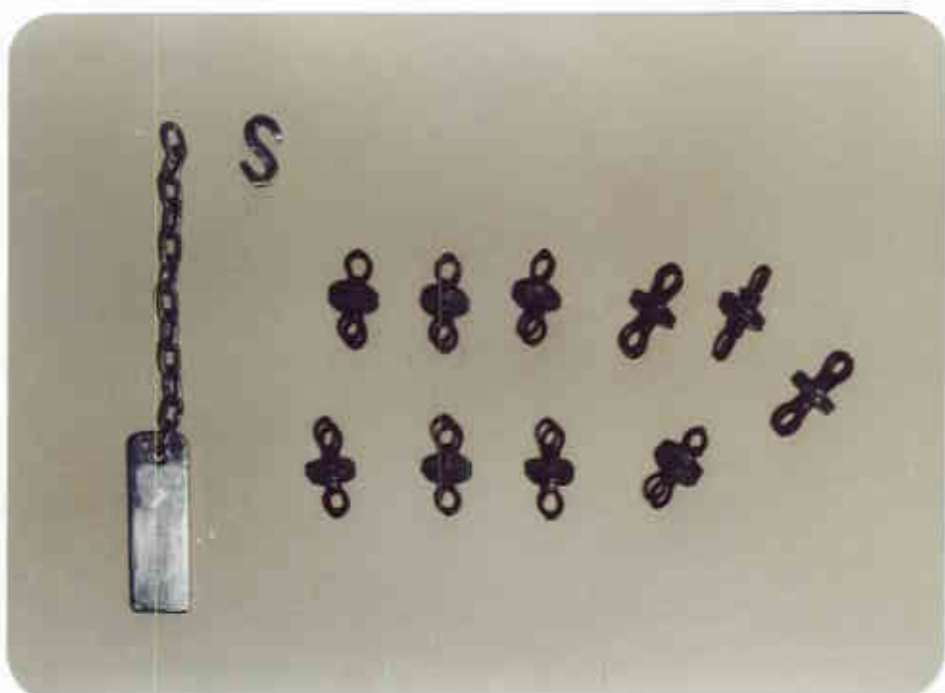
Daha sonra yapıştırılan numuneler, ağız ortamını bir miktar taklit edebilmek için saf su içinde 7 gün bekletildi.

e- ÇEKME KUVVETİ DENEYLERİ :

Bir çift numune pürüzlendirilmiş yüzeyleri birbirine bakacak şekilde kompozit resinle yapıştırıldıktan ve 7 gün saf su içinde bekletildikten sonra çekme kuvvetleri ölçüldü.

---

<sup>x</sup> : Adaptic, Johnson and Johnson, Dental Products Div., New Brunswick, N.J.



Resim 12 : Kompozit resinle birbirine yapıştırılmış bir grup numune.

Yapıştırma işleminden sonra, T.S.E. Instron test makinasında<sup>x</sup> çekme hızı 1 mm/dak ayarlanarak, her bir pürüzlendirme şartına ait numunelerden 10'ar tane çekilerek değerler kaydedildi. Toplam 140 çekim yapıldı (Resim 13, 14).

% 10  $H_2SO_4$ , 0.5 N  $HNO_3$ ,  $CH_3COOH$  -  $HNO_3$ 'den oluşan üç değişik asit çözeltisi ile elde edilen pürüzlendirilmiş yüzeylerin tutucu kuvvetleri arasındaki farkın önemli olup olmadığı, t-testi uygulanarak saptanmıştır.

---

<sup>x</sup> : Instron tensile testing instruments Type TT-B Instron Engineering Corporation Canton Massachusetts, U.S.A.  
(1 gramla 5 ton arasında çekme ve basma yapar).



Resim 13 : Instron çekme cihazı.



Resim 14 : Çekme kuvvetinin ölçülmesi.

f- PÜRÜZLENDİRİLMİŞ YÜZEYDEKİ ÇUKURCUKLARIN DERİNLİKLERİNİN ÖLÇÜLMESİ :

Çekme kuvvetlerinin belirlenmesinden sonra diğerlerine göre en iyi sonuç elde edilen pürüzleendirme tekniği bulunmaktadır.  $1 \text{ cm}^2$  yüzey alanına sahip kare şeklindeki 5 metal numunenin birer yüzü bu teknikle pürüzlendi- rildi. Daha sonra pürüzleendirilmiş bu yüzey, aynı direkt akım kaynağında numune katoda bağlanarak ve anoda da bakır bağlanarak, yüzey elektrokimya- sal olarak bakırla kaplandı. Bu "elektroplating" işleminde kullanılan çözelti aşağıdaki gibidir :

20 cc  $H_2SO_4$

100 cc saf su, aldığı kadar bakır sülfat.

Pürüzlendirilmiş metal yüzeyini bakırla kaplamaktaki amacımız, metal numuneyi dik olarak yerleştirdip pürüzlü yüzeyi mikroskopta görebilmek içindir.

Pürüzlendirilmiş ve bakırla kaplanmış yüzey ince kenarı üzerine zeminde dik olacak şekilde soğuk akril içine gömildi ve metalin incelenenekken kenarı akrille birlikte zımparalandı ve daha sonra da ince aşındırıcı tozlarla kusursuz biçimde parlatıldı. Bu yüzeyler daha sonra mikroskopta <sup>x</sup> inceleendi ve fotoğrafları çekildi. Fotoğraflardan yapılan ölçümle pürüzlendirilmiş yüzeyde oluşan çukurcukların ortalama derinlikleri belirlendi (Resim 17).

B U L G U L A R

Akım-voltaj eğrisine göre her çözelti için pürüzlenme fazına işaret eden akım yoğunluklarında pürüzlendirilmiş ve birbirlerine kompozit resinle yapıştırılmış numunelere, Instron test makinasında uygulanan çekme deneylerinin sonuçları kilogram olarak Tablo II, III ve IV de verilmiştir.

Tablo II : % 10  $H_2SO_4$  çözeltisi kullanılarak pürüzlendirilen metal numunelerin kompozit resinle bağlanma kuvvetleri (kg).

AKIM YOĞUNLUĞU mA/cm <sup>2</sup>	NUMUNELERİN ÇEKİM KUVVETLERİ (kg)											ORT. ÇEKİM KUVVETİ (kg)
200	22.8	22.2	13.2	19.5	16.5	22.5	15.5	22.0	16.0	21.6		19.18
300	41.6	45.2	27.2	40.0	42.5	35.0	44.2	43.5	20.0	40.0		37.92
400	26.0	30.7	22.0	22.8	33.6	40.3	24.0	32.0	26.7	29.4		28.75
500	22.4	27.5	19.4	35.2	29.2	20.9	25.2	25.6	23.2	24.5		25.31
600	18.5	20.0	18.3	22.7	20.0	19.8	24.0	23.5	20.8	19.5		20.71
700	15.5	19.7	18.3	18.8	16.6	17.6	20.0	24.0	18.0	17.6		18.61

**Tablo III : 0.5 N HNO<sub>3</sub> çözeltisi kullanılarak pürüzlendirilen metal numunelerin kompozit resinle bağlanma kuvvetleri (kg).**

AKIM YOĞUNLUĞU mA/cm <sup>2</sup>	NUMUNELERİN ÇEKİM KUVVETLERİ (kg)											ORT. ÇEKİM KUVVETİ (kg)
200	22.6	34.0	30.5	31.4	32.0	35.0	24.0	33.0	36.0	43.0	32.15	
300	36.0	54.4	48.8	50.2	51.0	42.0	45.4	52.8	57.6	68.8	56.98	
400	67.4	80.8	69.0	47.4	59.0	54.6	63.2	85.3	71.5	59.6	70.28	
500	56.0	58.4	67.0	45.5	59.0	54.0	58.5	48.8	64.8	56.0	62.20	
600	48.0	42.4	45.5	52.8	41.5	59.0	42.5	42.5	35.6	32.0	44.18	

**TABLO IV : CH<sub>3</sub>COOH - HNO<sub>3</sub> karışımından oluşan çözelti kullanılarak pürüzlendirilen metal numunelerin kompozit resinle bağlanma kuvvetleri (kg).**

AKIM YOĞUNLUĞU mA/cm <sup>2</sup>	NUMUNELERİN ÇEKİM KUVVETLERİ (kg)											ORT. ÇEKİM KUVVETİ (kg)
100	21.3	13.2	14.5	20.0	15.5	21.5	15.0	17.1	24.0	19.2	18.13	
200	25.2	19.3	14.3	20.0	19.1	19.9	18.2	17.1	17.5	23.1	19.37	
300	17.2	17.2	15.2	20.3	13.7	22.5	14.3	12.1	24.5	19.1	17.61	

Üç asit çözeltisine ait en yüksek değerlerin ortalamaları ve standart hataları :

	<u>Ortalama</u>	<u>St. Hata</u>
A) % 10 H <sub>2</sub> SO <sub>4</sub>	37.920	2.61
B) 0.5 N HNO <sub>3</sub>	70.280	3.84
C) CH <sub>3</sub> COOH-HNO <sub>3</sub> karışımı	19.370	0.97

Çekim kuvvetleri belirlenmiş ve her grubun çekme kuvveti deneyleri sonucu elde edilen en yüksek değerleri arasındaki farkın önemli olup olmadığı t-testine göre şöyle bulunmuştur :

1-) % 10  $H_2SO_4$  ve 0.5 N  $HNO_3$  çözeltilerinin en yüksek değerleri arasındaki fark önemli ( $p < 0.01$ ),

2-) % 10  $H_2SO_4$  ve  $CH_3COOH - HNO_3$  karışımından oluşan çözeltilerin en yüksek değerleri arasındaki fark önemli ( $p < 0.01$ ),

3-) 0.5 N  $HNO_3$  ve  $CH_3COOH-HNO_3$  karışımından oluşan çözeltilerin en yüksek değerleri arasındaki fark önemli ( $p < 0.01$ ),

4-) Bunların dışında her üç çözeltinin en yüksek değerleri arasındaki fark önemli ( $p < 0.01$ ) bulunmuştur.

Pürüzlenen metalin yüzeyinde siyahlaşma olmaktadır.

Pürüzlenme işlemi 2-15 dakika devam etmektedir. Bu sürenin artması ile çukurcuk derinliğinde artma olmadığı ışık mikroskopu ile gözlenmiştir. İşlemenin minimum sürede yapılabilmesi için 5 dakika sürenin yeterli olduğu bulunmuştur.

Anot, katot arası mesafe 1-1.5 cm olması uygundur, uzaklaştıkça reaksiyon hızında düşme görülmüştür.

400 mA/cm<sup>2</sup> akım yoğunluğu uygulanarak, 0.5 N  $HNO_3$  çözeltisi ile elektrokimsal olarak pürüzlendirilen metal yüzeylerinin dik konumda metal mikroskopu ile çekilen fotoğrafları Resim 15 ve Resim 16 da görülmektedir. Pürüzlendirilmemiş ve pürüzlendirilmiş metal yüzeyi arasındaki fark belirgindir.

Fotoğraftan yapılan ölçümlerle bu derinliğin 120-130 mikron arasında olduğu bulunmuştur (Resim 17).



Resim 17 : Çekme kuvveti deneyleri sonucu en iyi bağlanma saptanan pürüzlendirme tekniği ile elde edilen çukurcukların derinliği (x100).

T A R T I S M A

Maryland köprülerde metal yüzeyinin istenilen şekilde pürüzlenmesi ve bu tutucu girintilere kompozit resinlerin bağlanması, onarımın asitle pürüzlendirilmiş dış yüzeyine tutunabilme etkinliğini ve dolayısıyla başarısını, büyük oranda etkiler.

Bu tip köprülerin dişe bağlanma mekanizması üç önemli komponentten oluşmaktadır.

- 1- Mine ile kompozit resin'in bağlanması,
- 2- Kompozit resin'in kendi içindeki bağlanma,
- 3- Kompozit resin ile metal arasındaki bağlanma.

Bağlanmanın ilk iki komponenti, daha önce kompozit resinlerle yapılan araştırmalarda büyük oranda araştırma konusu olduğundan, bu çalışmanın amacı bağlanmanın üçüncü komponentini etkileyen elektrokimyasal pürüzleme tekniği üzerinde durmaktadır. Bu amaçla bir krom-nikel alaşımına özgü elektrokimyasal pürüzleme tekniği geliştirilmiştir.

Dış hekimliğinde kullanılan krom-nikel alaşımının elektrokimyasal olarak pürüzlenmesi ile ilgili ilk çalışma Tanaka<sup>(61)</sup> tarafından yapılmıştır. Tanaka tarafından önerilen ve özel bir krom-nikel-bakır alaşımından dökülen veneer kronların faset yüzeyinde tutuculuk sağlamak amacıyla % 5 NaCl çözeltisi,  $375 \text{ mA/cm}^2$  akım verilerek elektrokimyasal olarak pürüzlenmiştir. % 5 NaCl çözeltisi yaptığımız ön çalışmada, bizim

kullandığımız metalin yüzeyinden fazla miktarda madde aldığıının saptanması üzerine onarımın dışa uyumunu bozacağından araştırmamız için uygun görülmemiştir.

Bu tip köprülerde kullanılabilen soy olmayan alaşımaların elektrokimyasal pürüzleme teknigi ile ilgili literatürde az bilgi vardır. Şimdiye kadar aynı araştırmacılar tarafından, iki değişik krom-nikel alaşımının elektrokimyasal pürüzleme teknigi açıklanmıştır<sup>(15,18)</sup>.

Livaditis ve Thompson<sup>(15)</sup>, Biobond marka krom-nikel alaşımının bu tip köprülerde kullanılması ve bu alaşima özgü elektrokimyasal pürüzlenme teknigini ortaya koymuşlardır. Bu amaçla 1 cm<sup>2</sup> yüzey alanına sahip diskler dökmüşler ve isimlerini vermedikleri birçok ajanın, değişik konsantrasyonlarda elektrolitik çözelti olarak denendiğini ve kullandıkları alaşım için en uygun çözeltinin 0.5 N nitrik asit, akım yoğunluğunun ise 250 mA/cm<sup>2</sup> olduğunu belirtmişlerdir. Bu araştırcıların bulguları sonucumuzu destekler şekildedir, araştırmamızda Niranium marka krom-nikel alaşımı için de en uygun elektrolitik çözeltinin 0.5 N nitrik asit olduğu bulunmuştur, kullanılması gereken akım yoğunluğu ise 400 mA/cm<sup>2</sup> dir.

Thompson, Del Castillo ve Livaditis<sup>(18)</sup>, araştırmalarında iki değişik krom-nikel alaşımının pürüzleme tekniklerini karşılaştırmışlardır. Bu amaçla 0.5 N nitrik asit, 5 N nitrik asit, % 5 kromik asit, % 5 kromik asit + % 5 asetik asit ve % 10 sülfürik asit gibi değişik çözeltiler kullanılmışlardır. Pürüzlemeyi düşündükleri metal alaşımaları krom-nikel olup biri berilyum (% 1.8) içermekte, diğerinde ise berilyum bulunmamaktaydı. Berilyum içeren metalin % 10 sülfürik asit, içermeyenin ise 0.5 N nitrik asit ile elektrokimyasal olarak pürüzleendirilebileceğini açıklamışlardır. Bu konudaki çalışma bizim araştırmamızı destekler biçimdedir, kullandığımız metalin berilyum içermediği analizi ile ortaya çıkmıştır.

Araştırmamızda dökümler üreticinin önerdiği şartlarda, elden geldiğince standartlaştırılarak, aynı laboratuvar teknisyeni tarafından yapılmıştır. Dökümden çıkan metallerin tijleri kesilirken ve tesfiye-polisaj işlemi sırasında ısı oluşturmadan metal soğutularak çalışılmıştır. Her pürüzleme şartının etkinliğini araştırmak üzere bir çift numunenin birbirine kompozit resinle bağlanmasıından sonra tutucu kuvvetin ölçülmesinde, metalin deformasyonuna neden olmamak, vibrasyon ve çarpmaya hızını minimuma indirmek için Instron test makinası, çekme hızı 1 mm /dak. 'ya ayarlanarak deneyler gerçekleştirilmiştir. Thompson ve arkadaşları<sup>(18)</sup> da, araştırmalarında pürüzlenmiş metal yüzeyinin, kompozit resine bağlanma kuvvetini belirlemek için yaptıkları çekme deneylerinde aynı hızı kullanmışlardır.

Cekme kuvveti deneyleri sonucunda, ayrılmaların tamamı, kompozit-resin-metal yüzeyi arasında olmuştur. Kompozit resin'in tamamı bir metal yüzeyinde kalabildiği gibi, bazı numunelerde her iki yüzeyde de kalmıştır.

Thompson ve Livaditis<sup>(15,18)</sup> de araştırmalarında ayrılmmanın öncelikle kompozit resin-metal yüzeyi arasında olduğunu belirtmişlerdir. Bu sonuçlar, bulgularımızı destekleyici yöndedir.

Araştırmamız, Thompson<sup>(15)</sup> ve Livaditis<sup>(18)</sup>'in birlikte yaptığı birbirinin devamı olan iki araştırmaya konu ve yöntem açısından yakındır. Her iki araştırmada da birer krom-nikel alaşımı için elektrokimyasal pürüzleme tekniği ortaya çıkarılmaya çalışılmıştır. 1 cm<sup>2</sup> yüzey alanına sahip metal diskler, elektrokimyasal olarak pürüzlenirdikten sonra pürüzlü yüzeyin kompozit resinle bağlanma kuvvetini saptamak üzere, yüzeye teflon bir matriksle kompozit resin bir çubuk bağlamışlardır. Pürüzlenmiş metal yüzey ile, kompozit resin çubuk arasındaki bağlanma kuvveti ölçülmüş ve ortalama 270 kg/cm<sup>2</sup> olarak bulunmuştur. Bu yöntem kompozit resinle,

pürüzlü metal yüzeyi arasındaki bağlanmayı ölçmek için oldukça sağlıklı bir yöntemdir. Araştırmamızda ekonomik koşulların ağırlığı nedeniyle bu tip bir bağlanma yapılmamıştır.

Bizim araştırmamızda aynı şartlarda pürüzlendirilmiş iki metal yüzeyi birbirine kompozit resinle yapıştırılmış ve çekme kuvveti deneyleri sonucunda en iyi sonuç  $70 \text{ kg/cm}^2$  bulunmuştur. Daha önce de vurguladığımız gibi araştırmamızın amacı özel bir krom-nikel alaşımının elektrokimyasal pürüzlenme tekniğini ortaya çıkarmaktır. Yapılan çekme kuvveti deneylerinin amacı en etkili pürüzlenmiş yüzeyi ortaya çıkarmak içindir. Deneyler sırasında iki metal kompozitle bağlanarak çekme kuvvetleri ölçülmüştür, dolayısıyla arada kalan kompozit resin kalınlığı oldukça incedir. Ancak Maryland köprülerin dişlere yapıştırılması ile arada sadece ince bir kompozit resin kalınlığı kaldığı düşünülürse araştırmamızda kullanılan bu yöntemin ağız şartlarına daha uygun olduğu anlaşılabılır.

Bağlama işleminde kullanılan kompozit resinlerde farklıdır, yukarıda sözü edilen her iki araştırmada da, bu tip pürüzlendirilmiş metal yüzeyine, Maryland köprülerin yapıştırılması için bir firma tarafından özel olarak üretilen kompozit yapıştırıcı resin (Comspan-L.D. Caulk Company) kullanılmıştır. Üretici firmanın iddiasına göre bu maddenin özelliği daha küçük granül büyülüğüne sahip olması, böylece çukurcuklara daha iyi girebilmesidir. Klinik uygulamalarda bu tip kompozit yapıştırıcıların kullanılması hekime de kolaylık sağlayacak özelliklere sahiptir.

Livaditis ve Thompson<sup>(15,18)</sup> yaptıkları araştırmalarda uygun elektrokimyasal pürüzlendirme tekniğini ortaya çıkarmak için değişik akım yoğunluklarında elde edilen pürüzlü yüzeyleri gözle ve ışık mikroskopu ile incelemişler, en fazla pürüzlü yüzeye sahip gördükleri, sayısını belirtmedikleri numunelere kompozit resin bir çubuk bağlayarak çekme kuvvetlerini ölçümişlerdir.

Bizim araştırmamızda ise her bir elektrokimyasal çözelti için pürüzlenme fazı belirlendikten sonra, bu fazdaki her akım yoğunluğunda pürüzleme yapılmış ve iyi, kötü pürüzlendirilmiş tüm yüzeylerin mekanik tutuculuğu araştırılmış ve birbirigyle kıyaslanabilecek bulgular elde edilmişdir. Sonuçlar arasındaki farkın önemliliği t-testi uygulanarak belirlenmiştir.

Kullandığımız üç değişik elektrolitik çözelti için şunları söyleyebiliriz :

% 10  $H_2SO_4$  çözeltisinin pürüzleme fazının 1100 mA'e kadarır, bundan sonra akım-voltaj eğrisinin düz olarak devam eden kısmında polisaj oluşmaktadır. Deneyler sırasında % 10  $H_2SO_4$  ile yapılan pürüzlemede 800 mA'e kadar pürüzlenme olduğu gözlenmiş, 900 ve 1000 mA akım yoğunluklarında metal yüzeyinde polisaj şeklinde değişiklikler olduğu gözlenmiş 900 mA ve 1000 mA akım yoğunlukları çekme kuvveti deneyleri dışında bırakılmıştır. Benzer şekilde 0.5 N  $HNO_3$  çözeltisi için pürüzleme fazı 700 mA,  $HNO_3$  -  $CH_3COOH$  çözeltisi için ise 400 mA'e kadar olduğu anlaşılmıştır.

Bu bulgulardan dolayı 100 mA den başlayarak yukarıda belirtilen akım yoğunluklarına kadar her defasında 100 mA akım yoğunluğu artırılarak, metallerin yüzeyi elektrokimyasal olarak pürüzlendirilmiştir. Bu değerlere yaklaşıkça pürüzlenmiş yüzeyin azlığı ve bu akım limitlerini aşınca polisaj fazına geçtiği görülmüştür.

Livaditis ve Thompson<sup>(15,18)</sup> yaptıkları araştırmalarda, kullandıkları metal ve çözeltiler için, pürüzlenme fazının olduğu akım yoğunluğunu, herhangi bir şekilde belirlememişlerdir, kaç değişik akım yoğunluğunu incelemiş olduklarıdan da söz etmemişlerdir. Tanaka<sup>(61)</sup> veneer kromla-

rin faset yüzeyinde tutuculuk sağlamak amacı ile geliştirdiği elektrokimyasal pürüzlendirme tekniğinde, bizim de belirlediğimiz gibi kullandığı alaşım ve çözeltiye özgü akım-voltaj eğrisini bulmuştur.

Pürüzlendirme aygıtında, sisteme akım verilmeye başlanınca pürüzlenme başlar. Ancak birkaç saniye sonra, metal üzerinde artıklar toplanınca pürüzlenme işlemi yavaşlar, bu tabaka pürüzlenme işlemini engeller, magnetik karıştırıcı bu artıkların ortamdan uzaklaştırılmasını sağlamada yardımcıdır. Eğer metal istenilen şekilde pürüzlenmişse, yüzeyde koyu bir film tabakası oluşacaktır.

Pürüzlenmiş yüzey oldukça hassastır, hiç bir şeyle temas etmemelidir, aksi takdirde yüzeydeki çıkışlıarda kırılma olur. Pürüzlendirme olayın yüzeyin ıslanabilirliğini artırdığını daha önce belirtmiştik, yüzede pürüzlenme olup olmadığı pratik olarak bir damla suyu metalin üzerine bırakarak izlenebilir. Pürüzlü yüzeyde su daması duracak ve bütün yüzeye yayılacaktır, pürüzlenmemiş yüzeyde ise su daması durmayacaktır.

Araştırmamızda, elektrokimyasal pürüzlendirme işleminde, akım ve rilmeye başlanmasıından 2 dakika sonra yüzeyin pürüzlendiği gözlenmiştir ve bu işlem 15 dakika devam etmiştir. İşık mikroskopu ile yapılan incelemelerde çukurlaşmanın ilk evresinde sıç, hafif yuvarlak çukurcuklar hakimdir, zaman arttıkça çukurcuklar derinleşerek komşu kenarlar birbirleriyle birleşmiştir. Yapılan gözlemlerle ortalama 5 dakika sonra iyi bir yüzey elde edilebileceği görülmüştür. Sürenin artması ile çukurcuk derinliği daha fazla artmamaktadır, bu şöylede açıklanabilir. Çukurcukların oluşumu ile metal dökümün yüzey alanı genişler, bu durumda yüzeyde birim alana gelen akım yoğunluğunda bir düşme söz konusuudur.

Livaditis ve Thompson<sup>(15,18)</sup> araştırmalarında metal yüzeyinde elektro-

kimyasal pürüzlendirme sonucu oluşan çukurcukların derinliğini herhangi bir yöntemle ölçmemiştirlerdir.

Tanaka<sup>(61)</sup> kullandığı krom-nikel alaşımını % 5 NaCl ile elektrokimyasal olarak pürüzlendirmiş ve 150 mikron bir derinlik elde ettiğini belirtmiştir. Metali dik olarak akril içine gömmüş ve pürüzlu yüzeyin en derin kısımlarını bir ölçüme mikroskopu ile ölçmüştür.

Oysa bizim yaptığımız ölçümelerde, metali yanlışca dik olarak akril içine gömmekle detaylı bir görüntü elde edemedik. Bunun nedeninin, akrilin pürüzlendirilmiş yüzey girinti ve çıkıştılarına iyi adapte olmaması olduğu düşünülmektedir. Ölçümü hassas yapabilmek için araştırmamızda metal yüzeyi elektrokimyasal olarak önce bakırla kaplanmıştır, daha sonra bu numuneler dik olarak akril içine gömülerek yüzeyleri parlatılıp mikroskopta bu yüzeylerin fotoğrafları alınmıştır. Bu fotoğraflardan yapılan ölçümelerle en iyi pürüzlenmiş yüzeydeki girinti çıkışlarının 120-130 mikron olduğu saptanmıştır.

Minenin asitle pürüzlendirilmesi sonucu oluşan çukurcukların 50-70 mikron<sup>(22)</sup> derinliğinde olduğu söylenmiştir. Araştırmamızda pürüzlendirilmiş metal yüzeyinde yapılan ölçümeler, metaldeki çukurcukların 120-130 mikron olduğunu göstermiştir, buna dayanarak metal ile kompozit resin arasındaki mekanik tutuculuğun mineye kıyasla iki misli daha fazla olduğu söylenilir.

Livaditis ve Thompson<sup>(15,18)</sup>, metal ile resin arasındaki bağlanma kuvvetinin, resinle pürüzlendirilmiş mine yüzeyi arasında olan bağlanmaya kıyasla iki misli fazla bulmuşlardır. Bu araştırmacılar, literatürdeki bilgilere dayanarak üçlü bağlanma mekanizmasında resin-mine arasındaki bağlanmanın en zayıf  $85-99 \text{ kg/cm}^2$ , resin'in kendi içindeki bağlanmanın en yüksek

$330-600 \text{ kg/cm}^2$  olduğunu, yaptıkları araştırmada metal ile resin arasında ki bağlanmanın  $270 \text{ kg/cm}^2$  olduğunu bulmuşlardır.

Bu sonuçlara dayanarak metal ve resin arasındaki bağlanmayı daha fazla artırmaya çalışmanın bir anlamı yoktur, yukarıdaki değerlerden de anlaşılabileceği gibi problem mine-kompozit resin arasındaki bağlanmadadır. Ancak bu tip köprülerde kullanılacak her metal için, metale özgü en ideal elektrokimyasal pürüzleştirmeye tekniği bilinmelidir, araştırmamız da bu amaca yönelik yapılmıştır.

Niranium krom-nikel alaşımının, gözle ve çekme deneyleri sonucu en iyi  $0.5 \text{ N}$  nitrik asitte  $400 \text{ mA/cm}^2$  akım yoğunluğunda 5 dakikalık bir süre sonucunda elektrokimyasal olarak pürüzleştirebileceği bulunmuştur. % 10 sülfürik asit ve asetik asit-nitrik asit karışımından oluşan diğer iki çözelti ile istenilen tutucu yüzey elde edilememiştir.

Soy olmayan krom-nikel alaşımları elektrolitik olarak pürüzlendirilebilir ve sonuçta dental resinlerin bağlanabilmesi için oldukça tutucu bir yüzey elde edilir. Bu yüzeyi elde etmek için uygulanması gereken elektrokimyasal pürüzleştirmeye tekniği her alaşım için farklıdır.

Bu araştırmada sabit protezlerde kullanılmakta olan Niranium marka krom-nikel alaşımının elektrokimyasal pürüzleştirmeye tekniği incelemiştir. Sonuç olarak bu alaşımı özgü en etkin elektrokimyasal pürüzleştirmeye tekniği şöyle bulunmuştur :

1) Elektrokimyasal pürüzleştirmede kullanılması gereken elektrolyt gözelti bu alaşım için  $0.5\text{ N}$  nitrik asittir.

2) Anot ve katot olarak paslanmaz çelik (316) elektrodlar kullanılmalıdır, anot ve katot arası mesafe 1-15 cm. olmalıdır.

3) Sisteme verilmesi gereken akım yoğunluğunun  $400\text{ mA/cm}^2$  olması uygundur.

4) Pürüzleştirmeye için gerekli minimum süre 5 dakikadır, sürenin artması ile çukurcuk derinliği daha fazla artmamaktadır.

5) Elektrokimyasal olarak pürüzlendirilen metal yüzeyi siyahlaşır, bu korozyon ürünlerini ortadan kaldırmak için ultrasonik temizleyicide metal yüzeyi % 18 HCl çözeltisinde 10 dakika temizlenmelidir.

6) Pürüzlendirilen metal yüzeyinde kompozit resin in bonding ajansının yayılması kolay olmaktadır.

7) Elde edilen çukurcukların derinliği ortalama 120-130 mikrondur.

Cr-Ni döküm alaşımının elektrokimyasal olarak pürüzlendirilmesi ve bunun pürüzlendirilmiş diş minesine kompozit resinlerle yapıştırılması diş hekimliğindeki protetik uygulamalara yeni olanaklar kazandırmıştır. Yukarıda açıklanan elektrokimyasal pürüzlendirme tekniği kullanılarak, Niranium marka krom-nikel alaşımından dökülen Maryland köprüler klinik olarak rahatlıkla uygulanabilir. Bu tip köprülerde, kullanılan alaşım eğer uygun teknikle pürüzlendirilmişse, pürüzlü metal yüzeyi ile kompozit resin arasındaki bağlantı, diş ile kompozit resin arasındaki bağlantıya kıyasla daha iyidir.

O Z E T

Araştırmamızda sabit protezlerde direkt bonding yönteminde uygulanabilecek, döküm metalin iç yüzeyini pürüzlendirecek tutucu mekanizmanın geliştirilmesi amacıyla Niranium marka krom-nikel alaşımı için elektrokimyasal pürüzlendirme tekniği araştırılmıştır.

Yapılan ön çalışma ile krom-nikel alaşımlarını elektrokimyasal olarak pürüzlendirdiği bilinen değişik çözeltiler denenmiştir. Bu alaşım için daha uygun pürüzlendirme yapabilen  $\% 10 H_2SO_4$ ,  $0.5 N HNO_3$ ,  $HNO_3-CH_3COOH$  çözeltileri bir direkt akım kaynağı ile değişik akım yoğunlukları uygulanarak karşılaştırılmıştır. Pürüzlendirilen numuneler daha sonra, ultrasonik olarak  $\% 18 HCl$  çözeltisinde temizlenmiştir. Yüzeyleri aynı şartlarda pürüzlendirilen numunelerden bir çifti kompozit resinle birbirine bağlanmış ve bunlar 7 gün süre ile saf suda bekletilmişlerdir. Toplam 70 numune her biri 4 kez kullanılarak, her pürüzlenme şartı için 20 tane olmak üzere toplam 280 pürüzlenmiş yüzey elde edilmiştir. Birbirine kompozit resinle bağlanan pürüzlü yüzeylerin çekim kuvvetleri, Instron test makinasında toplam 140 çekim yapılarak ölçülmüştür. Böylece alaşima özgü en etkili elektrokimyasal pürüzlendirme tekniği belirlenmiştir.

Bu alaşım için  $0.5 N HNO_3$  çözeltisinin elektrokimyasal pürüzlendirme işlemi için en uygun çözelti olduğu, verilmesi gereken akım yoğunluğunun 5 dakika süreyle  $400 \text{ mA/cm}^2$  olduğu bulunmuştur, elde edilen çukurcukların derinliği 120-130 mikron olarak ölçülmüştür.

K A Y N A K L A R

1. *Rochette, A.L.* : Attachment of a splint to enamel of lower anterior teeth. *J. Prost. Dent.* 30: 418-423, 1973.
2. *Ibsen, R.L.* : Fixed prosthetics with a natural crown pontic using an adhesive composite. *J. South. Calif. Dent. Assoc.* 41: 100-102, 1973.
3. *Richmond, N.L.* : Acid-etch "bridge" technique. *J. Ind. Dent. Assoc.* 52: 435-436, 1973.
4. *Stuart, I.A.* : An unusual space maintainer retained by an acid-etched polymer resin. *Brit. Dent. J.* 137: 437-438, 1974.
5. *Ibsen, R.L.* : One-appointment technique using an adhesive composite. *Dent. Surv.* 49: 30-32, 1973.
6. *Stolpa, J.B.* : An adhesive technique for small anterior fixed partial dentures. *J. Prost. Dent.* 34: 513-519, 1975.
7. *Kochavi, D., Stern, N., Grajower, R.* : A temporary space maintainer using acrylic resin teeth and composite resin. *J. Prost. Dent.* 37: 522-526, 1977.
8. *Jordon, R.E., Suzuki, M., Sills, P.S., Gratton, D.R., Gwinnett, J.A.* : Temporary fixed partial dentures fabricated by means of the acid-etch resin technique : a report of 86 cases followed for up three years. *J. Am. Dent. Assoc.* 96: 994-1001, 1978.

9. Barkmeier, W.W., Abrams, H., Brookreson, J.W. : Technique for an immediate temporary fixed tooth replacement. *J. Prost. Dent.* 41: 155-159, 1979.
10. Cunningham, P.J. : The composite bridge. *Aust. Dent. J.* 24: 150-152, 1979.
11. Howe, D.F., Denehy, G.E. : Anterior fixed partial dentures utilizing the acid-etch technique and a cast metal framework. *J. Prost. Dent.* 37: 28-31, 1977.
12. Livaditis, G.J. : Cast metal resin-bonded retainers for posterior teeth. *J. Am. Dent. Assoc.* 101: 926-929, 1980.
13. Nathanson, D., Moin, K. : Metal-reinforced anterior tooth replacement using acid-etch-composite resin technique. *J. Prost. Dent.* 43: 408-412, 1980.
14. Williams, V.D., Drennan, D.G., Silverstone, L.M. : The effect of retainer design on the retention of filled resin in acid-etched fixed partial dentures. *J. Prost. Dent.* 48: 417-423, 1982.
15. Livaditis, G.J., Thompson, V.P. : Etched castings : An improved retentive mechanism for resin-bonded retainers. *J. Prost. Dent.* 47: 52-58, 1982.
16. McLaughlin, G., Foerth, D. : Composite bonding of etched metal bridges. *Gen. Dent.* 30: 132-134, 1982.
17. Gluck, J. : "One-step" etching process for etched-metal bridges. *Dent. Lab. Rev.* 34-36, June 1982.
18. Thompson, V.P., Del Castillo, E., Livaditis, G.J. : Resin-bonded

- retainers. Part I. Resin bond to electrolytically etched non-precious alloys. *J. Prost. Dent.* 50: 771-779, 1983.
19. Buonocore, M.G., Matsui, A., Gwinnett, A.J. : Penetration of resin dental materials into enamel surfaces with reference to bonding. *Archs. Oral Biol.* 13: 61-70, 1968.
20. Laswell, H.R., Welk, D.A., Regenos, J.W. : Attachment of resin restorations to acid pretreated enamel. *J. Am. Dent. Assoc.* 82: 558-563, 1971.
21. Gottlieb, E.W., Retief, D.H., Jamison, H.C. : An optimal concentration of phosphoric acid as an etching agent. Part I : Tensile bond strength studies. *J. Prost. Dent.* 48: 48-51, 1982.
22. Retief, D.H. : Effect of conditioning the enamel surface with phosphoric acid. *J. Dent. Res.* 52: 333-340, 1972.
23. Fusayama, T., Nakamura, M., Kurosaki, N., Masaaki, I. : Non-pressure adhesion of a new adhesive restorative resin. *J. Dent. Res.* 58: 1364-1370, 1979.
24. Short, G.M., Hembree, J.H., McKnight, J.P. : The bond strengths of resin systems to etched enamel. *J. Prost. Dent.* 36: 538-543, 1976.
25. Macchi, R.L., Craig, R.G. : Physical and mechanical properties of composite restorative materials. *J. Am. Dent. Assoc.* 78: 328-334, 1969.
26. Phillips, R.W. : Composite restorative resins. *J. Am. Dent. Assoc.* 80: 357-359, 1970.

27. Forsten, L., Väliho, M.L. : Transverse and bond strength of restorative resins. *Acta Odont. Scand.* 29: 527-537, 1971.
28. Reisbick, M.H., Brodsky, B.A. : Strength parameters of composite resins. *J. Prost. Dent.* 26: 178-185, 1971.
29. Council on dental materials and devices : Status report on acid etching procedures. *J. Am. Dent. Assoc.* 97: 505-508, 1978.
30. Söderholm, K.J. : Relationship between compressive yield strength and filler fractions of PMMA composites. *Acta Odont. Scand.* 40: 145-150, 1982.
31. Hanst, M.T. : Acid etched resin restorations : An update for the clinician. *J. Ind. Dent. Assoc.* 58: 10-15, 1979.
32. Gomes, B.C., Gold, S.B., Baer, P.N., Festa, S. : Importance of combined periodontal and acid-etch composite treatment in restoration of anterior teeth and periodontal health. *J. Am. Dent. Assoc.* 99: 834-835, 1979.
33. Rock, W.P. : The effect of etching of human enamel upon bond strengths with fissure sealant resins. *Archs. Oral. Biol.* 19: 873-877, 1974.
34. McLaughlin, G. : Composite bonding for the clinician. *N.Y. Stat. Dent.* J. 48: 232-235, 1982.
35. Newman, G.V. : Epoxy adhesives for orthodontic attachments. Progress report. *Am. J. Orthod.* 51: 901-912, 1965.
36. Yanower, L., Croft, W., Pulver, F. : The acid-etched fixed prosthesis. *J. Am. Dent. Assoc.* 104: 325-328, 1982.

37. Conny, D.J., Brewer, J.D. : A technique to facilitate handling of enamel-bonded restorations. *J. Prost. Dent.* 51: 441, 1983.
38. Marshall, G.W., Olson, L.M., Lee, C.V. : SEM investigation of the variability of enamel surfaces after simulated clinical acid etching for pit and fissure sealants. *J. Dent. Res.* 54: 1222-1231, 1975.
39. Miura, F., Kazuhiko, N., Masuhara, E. : New direct bonding system for plastic brackets. *Am. J. Orthod.* 59: 350-361, 1971.
40. Grajower, R., Stein, N., Zamir, S., Kochavi, D. : Temporary space maintainers retained with composite resin. Part II : Fracture load in vitro. *J. Prost. Dent.* 45: 49-51, 1981.
41. Portnoy, L.L. : Constructing a composite pontic in a single visit. *Dent. Surv.* 49: 20-23, 1973.
42. Scheer, B., and Silverstone, L.M. : Replacement of missing anterior teeth by etched retained bridges. *J. Int. Assoc. Dent. Child.* 6: 17, 1975.
43. Lambert, P.M., Moore, D.L., Elletson, H.H. : In vitro retentive strength of fixed bridges constructed with acrylic pontics and an ultraviolet-light-polymerized resin. *J. Am. Dent. Assoc.* 92: 740-743, 1976.
44. Howell, A.H., Manly, R.S. : Electronic strain gauge for measuring oral forces. *J. Dent. Res.* 27: 705-712, 1948.
45. Kaynak 14'den alınmıştır.
46. Kaynak 7'den alınmıştır.
47. Wickwire, N.A., Rentz, D. : Enamel pretreatment : A critical variable in direct bonding systems. *Am. J. Orthod.* 64: 499-512, 1973.

48. Schwickerath, H., Mokbel, A.M. : Klebebrücken. Dtsch. zahnärztl. 38: 1016-1019, 1983.
49. Williams, V.D., Dedmon, H.W. : The retentive capacity of rebonded retainers to enamel. J. Prost. Dent. 51: 205-208, 1984.
50. Yavuzyilmaz, H., Arıkan, A., Yurdukoru, B. : Adhesive köprülerin klinik değerlendirilmesi (2 yıl süreli klinik çalışma). A.Ü. Dis Hek. Fak. D. 10: 213-20, 1983.
51. Chapman, K.W., Hamilton, M.L. : Maintenance of diastemas by a cast lingual loop connector and acid-etch technique. J. Am. Dent. Assoc. 104: 49-50, 1982.
52. Wood, M. : Etched casting resin bonded retainers. An improved technique for periodontal splinting. Int. J. Periodont. Restorative Dent. 4: 9-25, 1982.
53. Reinhardt, J.W., Denehy, G.E., Chan, K.C. : Acid etch bonded cast orthodontic retainers. Am. J. Orthod. 75: 138-142, 1979.
54. Combe, E.C. : Notes on dental materials. Churchill Livingstone Publication. p.g 43, 1975.
55. Patel, M.G. : The effect of electrochemical milling on margins of MOD inlays. J. Prost. Dent. 30: 66-73, 1973.
56. Cherberg, J.W., Nicholls, J.I. : Analysis of gold removal by acid etching and electrochemical stripping. J. Prost. Dent. 42: 638-644, 1979.
57. Kaynak 58'den alınmıştır.
58. Fusayama, T., Ide, K., Hosoda, H. : Relief of resistance of cement of full cast crowns. J. Prost. Dent. 14: 95-106, 1964.

59. Farne, J.F., Nealey, E.T. : The effects of etching on the margins of cast gold restorations. *J. Prost. Dent.* 35: 273-278, 1976.
60. Dunn, B., Reisbick, M.H. : Adherence of ceramic coatings on chromium-cobalt structures. *J. Dent. Res.* 55: 328-332, 1976.
61. Tanaka, T., Atsuta, M., Uchiyama, Y., Kawashima, I. : Pitting corrosion for retaining acrylic resin facings. *J. Prost. Dent.* 42: 282-291, 1979.
62. Barrack, G. : Recent advances in etched cast restorations. *J. Prost. Dent.* 52: 619-626, 1984.
63. Livaditis, G.J. : Resin-bonded cast restorations : Clinical study. *Int. J. Periodont. Restorative Dent.* 4: 71-78, 1981.
64. Mullick, S.C. : Etched metal resin-bonded retainers. University of Medicine and Dentistry of New Jersey - New Jersey Dental School Newark, New Jersey. (text.).
65. Caniklioğlu, B., Kayaçoniz, İ. : Diş hekimliğinde korozyon, elektrokimik kaplama ve parlatma. İ.Ü. Diş Hek. Fak. Ar Basım Yayım, Sa: 63, 1982.
66. Greaves, R.H., Wrington, H. : Practical microscopical metallograph. Science paperbacks SP 41. p.g 13-14, 177, 179-181, 1967.

